

$$\oint \vec{E} \cdot d\vec{S} = \frac{\int \rho dV}{\epsilon_0} \Rightarrow \oint \vec{E} \cdot d\vec{S} = \frac{\rho_0 \cdot \frac{4\pi R^3}{3}}{\epsilon_0} = \frac{\rho_0 \cdot \frac{4\pi R^3}{3}}{12 \epsilon_0 \cdot 1^2}$$

MB

PROVA MENSAL DE FIS-32 - Turma 3 - março 2010

NOME: André Reginaldo de Moura Cavalcante

1. Uma distribuição de cargas esfericamente simétrica não uniforme possui uma densidade  $\rho(r)$  dada por:

$$\rho(r) = \rho_0(1 - r/R) \quad \text{para } r \leq R,$$

$$\rho(r) = 0 \quad \text{para } r \geq R,$$

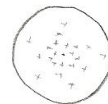
onde  $\rho_0 = 3Q/\pi R^3$  é uma constante positiva.

a) Calcule a carga total contida na distribuição. *em função de  $\rho_0$  e  $R$*

b) Calcule o campo elétrico na região  $r > R$ .

c) Calcule o campo elétrico para  $r < R$ .

d) Encontre o ponto  $r$  para o qual o campo elétrico atinge seu valor máximo e calcule o valor desse campo elétrico máximo.



$$a) \rho(r) = \frac{dq}{dV} \Rightarrow dq = \rho(r) dV \Rightarrow \int dq = \int \rho(r) dV \Rightarrow Q_T = \int_0^R \rho_0(1 - \frac{r}{R}) 4\pi r^2 dr$$

$$Q_T = \rho_0 4\pi \int_0^R (r^2 - \frac{r^3}{R}) dr = 4\rho_0 \pi \left( \frac{r^3}{3} - \frac{r^4}{4R} \right) \Big|_0^R = 4\rho_0 \pi \left( \frac{R^3}{3} - \frac{R^4}{4R} \right) = 4\rho_0 \pi \frac{R^3}{12}$$

$$Q_T = \frac{\rho_0 \pi R^3}{3} C$$

b) Quando  $r > R$ , podemos considerar *(para realizar os cálculos)* que toda a carga se encontra no centro da esfera e, assim, calcularmos o campo gerado por uma carga pontual  $Q_T$ .

$$E = \frac{1}{4\pi\epsilon_0} \cdot \frac{Q_T}{r^2} = \frac{1}{4\pi\epsilon_0} \cdot \frac{(\frac{\rho_0 \pi R^3}{3})}{r^2} \Rightarrow E = \frac{\rho_0 R^3}{12\epsilon_0 r^2} \quad \text{(direção radial)}$$

c) Utilizando-se uma superfície gaussiana esférica ( $\vec{E} \cdot d\vec{S} = |\vec{E}| dS$  constante)

$$\oint \vec{E} \cdot d\vec{S} = \frac{\int \rho(r) dV}{\epsilon_0} \Rightarrow E \cdot 4\pi r^2 = \frac{\int_0^r \rho_0(1 - \frac{r}{R}) 4\pi r^2 dr}{\epsilon_0} \Rightarrow E r^2 = \frac{\rho_0}{\epsilon_0} \int_0^r (r^2 - \frac{r^3}{R}) dr = \frac{\rho_0}{\epsilon_0} \left( \frac{r^3}{3} - \frac{r^4}{4R} \right)$$

$$\Rightarrow E = \frac{\rho_0}{\epsilon_0} \left( \frac{r}{3} - \frac{r^2}{4R} \right) \quad \text{N/C}$$

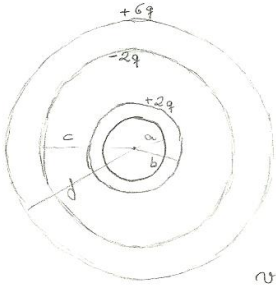
$$d) \frac{dE}{dr} = \frac{\rho_0}{3\epsilon_0} - \frac{2\rho_0 r}{4\epsilon_0 R} = 0 \Rightarrow \frac{1}{3} - \frac{r}{2R} = 0 \Rightarrow \frac{1}{3} = \frac{r}{2R} \Rightarrow r = \frac{2}{3}R$$

$$E_{MAX} = \frac{\rho_0}{\epsilon_0} \left[ \left( \frac{2}{3}R \right) - \frac{(\frac{2}{3}R)^2}{4R} \right] = \frac{\rho_0}{\epsilon_0} \left[ \frac{2}{3}R - \frac{R}{9} \right] \Rightarrow E_{MAX} = \frac{\rho_0 R}{9\epsilon_0} \quad \text{N/C}$$

2. Uma pequena esfera oca condutora com raio interno  $a$  e raio externo  $b$  é concêntrica com uma grande esfera oca condutora com raio interno  $c$  e raio externo  $d$ . A carga total sobre a esfera oca interna é igual a  $+2q$  e a carga total sobre a esfera oca externa é igual a  $+4q$ .

a) Determine o módulo, a direção e o sentido do campo elétrico em função da distância  $r$  ao centro comum para as regiões: i)  $r < a$ ; ii)  $a < r < b$ ; iii)  $b < r < c$ ; iv)  $c < r < d$ ; v)  $r > d$ .

b) Qual é a carga total sobre: i) a superfície interna da esfera oca pequena; ii) a superfície externa da esfera oca pequena; iii) a superfície interna da esfera oca grande; iv) a superfície externa da esfera oca grande.



a)  $E_i = E_{ii}$   ~~$E_{ii}$~~  (interior de condutor)

$E_{iii} = \frac{1}{4\pi\epsilon_0} \frac{2q}{r^2} \Rightarrow E_{iii} = \frac{q}{2\pi\epsilon_0 r^2}$  N/C   
 direção: radial   
 sentido: para fora

(Superposição)

$E_{iv} = \frac{1}{4\pi\epsilon_0} \frac{2q}{r^2} + \frac{1}{4\pi\epsilon_0} \frac{(-2q)}{r^2} = 0 = E_{iv}$

v) Cálculo utilizando superposição:  $E_v = \frac{1}{4\pi\epsilon_0} \frac{2q}{r^2} + \frac{1}{4\pi\epsilon_0} \frac{(-2q)}{r^2} + \frac{1}{4\pi\epsilon_0} \frac{(6q)}{r^2}$

$E_v = \frac{3q}{2\pi\epsilon_0 r^2}$  N/C   
 direção: radial   
 sentido: para fora

b) i) 0

ii)  $+2q$

iii)  $-2q$

iv)  $+6q$

$$\vec{\nabla} \cdot \vec{A} = \frac{1}{\rho} \frac{\partial}{\partial \rho} (\rho A_\rho) + \frac{1}{x} \frac{\partial A_\varphi}{\partial \varphi} + \frac{\partial A_z}{\partial z} \quad (\text{coord. cilíndricas})$$

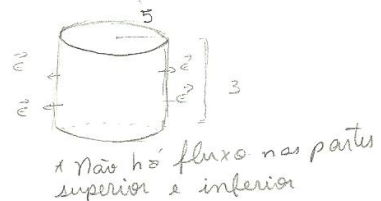
$$\vec{\nabla} \cdot \vec{A} = \frac{1}{x^2 \sin \theta} \left[ \sin \theta \frac{\partial (x^2 A_r)}{\partial x} + \dots \right]$$

3. a) Considere um cilindro de altura  $h=3\text{m}$  e raio  $\rho=5\text{m}$ . O campo elétrico no interior desta região cilíndrica é dado por:  $\vec{E} = (2\rho^2 + \rho)\hat{e}_\rho$ . Calcule: a densidade volumétrica de carga, o fluxo do campo elétrico através desta região e a carga contida no cilindro.  
b) Considere uma esfera de raio  $r=5\text{m}$ , com um campo elétrico em seu interior dado por  $\vec{E} = \frac{1}{5}r^2\hat{e}_r$ . Calcule: a densidade volumétrica de carga, a carga contida na esfera e o fluxo do campo elétrico.

a) Densidade volumétrica de carga:  $\alpha$

$$\vec{\nabla} \cdot \vec{E} = \frac{\alpha}{\epsilon_0} \Rightarrow \frac{1}{\rho} \frac{\partial}{\partial \rho} [\rho(2\rho^2 + \rho)] = \frac{\alpha}{\epsilon_0} \Rightarrow \frac{1}{\rho} \frac{\partial}{\partial \rho} (2\rho^3 + \rho^2) = \frac{\alpha}{\epsilon_0}$$

$$\Rightarrow \frac{1}{\rho} (6\rho^2 + 2\rho) = \frac{\alpha}{\epsilon_0} \Rightarrow \alpha(\rho) = \epsilon_0 (6\rho + 2) \frac{\text{C}}{\text{m}^3}$$



$$\alpha = \frac{dq}{dV} \Rightarrow dq = \alpha(\rho) dV \Rightarrow dq = \epsilon_0 (6\rho + 2) \rho d\rho d\theta dz$$

$$dV = \rho d\theta dz d\rho$$

$$\int dq = \epsilon_0 \int_0^3 dz \int_0^{2\pi} d\theta \int_0^5 (6\rho + 2) \rho d\rho \Rightarrow Q = \epsilon_0 \int_0^3 dz \int_0^{2\pi} d\theta (2\rho^3 + \rho^2) \Big|_0^5 = \epsilon_0 \int_0^3 dz \int_0^{2\pi} 275 d\theta$$

$$Q = \epsilon_0 \int_0^3 dz 275\theta \Big|_0^{2\pi} = \epsilon_0 \int_0^3 550\pi dz = 550\pi \epsilon_0 z \Big|_0^3 \Rightarrow Q = 1650\pi \epsilon_0 \text{ (C)}$$

$$\Phi = \frac{Q}{\epsilon_0} \Rightarrow \Phi = \frac{1650\pi \epsilon_0}{\epsilon_0} \Rightarrow \Phi = 1650\pi \left( \frac{\text{C} \cdot \text{m}^2}{\text{C}} \right)$$

b) Densidade volumétrica de carga:  $\rho$

$$\vec{\nabla} \cdot \vec{E} = \frac{\rho}{\epsilon_0} \Rightarrow \frac{1}{x^2 \sin \theta} \sin \theta \frac{\partial}{\partial x} (x^2 \cdot \frac{1}{5} x^2) = \frac{\rho}{\epsilon_0} \Rightarrow \frac{\rho}{\epsilon_0} = \frac{1}{x^2 \sin \theta} \frac{4}{5} x^3 \Rightarrow \rho(x) = \frac{4}{5} \frac{\epsilon_0 \pi}{\sin \theta} \frac{\text{C}}{\text{m}^3}$$

$$\rho = \frac{dq}{dV} \Rightarrow dq = \rho dV \Rightarrow \int dq = \int \frac{4}{5} \frac{\epsilon_0 \pi}{\sin \theta} x^2 \sin \theta d\theta d\varphi dx \Rightarrow Q = \frac{4\epsilon_0}{5} \int_0^{2\pi} d\theta \int_0^\pi d\varphi \int_0^5 x^3 dx$$

$$dV = x^2 \sin \theta d\theta d\varphi dx$$

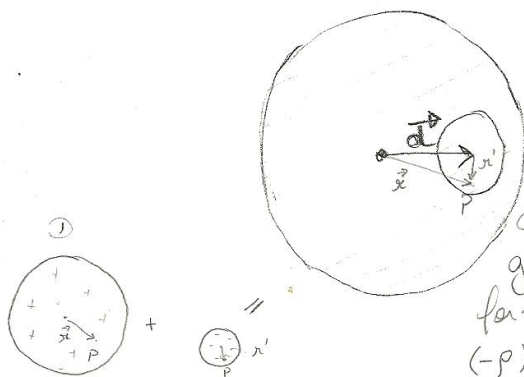
$$Q = \frac{4}{5} \epsilon_0 \int_0^{2\pi} d\theta \int_0^\pi d\varphi \frac{5^4}{4} = \frac{4}{5} \epsilon_0 \cdot \frac{5^4}{4} \int_0^{2\pi} d\theta \int_0^\pi d\varphi = 5^3 \epsilon_0 \int_0^{2\pi} d\theta \cdot \pi = 5^3 \pi \epsilon_0 \int_0^{2\pi} d\theta = 5^3 \pi \epsilon_0 \cdot 2\pi$$

$$Q = 250\pi^2 \epsilon_0 \text{ (C)}$$

$$\frac{1}{4} \cdot \frac{5^4}{4}$$

$$\Phi = \frac{Q}{\epsilon_0} = \frac{250\pi^2 \epsilon_0}{\epsilon_0} \Rightarrow \Phi = 250\pi^2$$

4. Uma esfera uniformemente carregada com densidade volumétrica  $\rho$  contém em seu interior uma cavidade esférica. Calcule o campo elétrico no interior da cavidade, expressando o resultado em função do vetor  $\vec{d}$  (vetor que liga o centro das duas esferas).



Seja P um ponto no interior da cavidade.  
 - Utilizando o princípio de superposição, o campo elétrico em P pode ser calculado considerando-se uma esfera<sup>(1)</sup> uniformemente carregada (com dens. volumétrica  $\rho$ ) e uma esfera<sup>(2)</sup> uniformemente carregada com densidade volumétrica  $(-\rho)$ .

\* Esfera 1 (densidade volumétrica  $\rho$ ) - Superfície gaussiana esférica

$$\oint_{S_g} \vec{E}_1 \cdot d\vec{S} = \frac{q}{\epsilon_0} \Rightarrow \vec{E}_1 \parallel d\vec{S} \text{ e } |\vec{E}_1| \text{ constante na superfície gaussiana} \Rightarrow E_1 \oint_{S_g} dS = \frac{\int dq}{\epsilon_0} \Rightarrow E_1 4\pi r^2 = \frac{\int_0^r \rho 4\pi r'^2 dr'}{\epsilon_0}$$

$$\rho = \frac{dq}{dV} \Rightarrow dq = \rho 4\pi r'^2 dr'$$

$$E_1 = \frac{\rho \cdot \frac{4}{3}\pi r^3}{\epsilon_0 4\pi r^2} \Rightarrow E_1 = \frac{\rho r}{3\epsilon_0} \text{ na direção de } \vec{r} \Rightarrow \vec{E}_1 = \frac{\rho r}{3\epsilon_0} \hat{r}, \hat{r} = \frac{\vec{r}}{|\vec{r}|}$$

\* Esfera 2 (densidade volumétrica  $-\rho$ )

$$\text{Analogamente, } E_2 = -\frac{\rho r'}{3\epsilon_0} \text{ na direção de } \vec{r}' \Rightarrow \vec{E}_2 = -\frac{\rho r'}{3\epsilon_0} \hat{r}', \hat{r}' = \frac{\vec{r}'}{|\vec{r}'|}$$

\* Campo resultante  $\vec{E}$ :  $\vec{E} = \vec{E}_1 + \vec{E}_2 = \frac{\rho r}{3\epsilon_0} \hat{r} - \frac{\rho r'}{3\epsilon_0} \hat{r}' = \frac{\rho}{3\epsilon_0} (\frac{r}{\hat{r}} - \frac{r'}{\hat{r}'})$

A diferença vetorial  $\vec{r} - \vec{r}'$  é igual ao vetor  $\vec{d}$

Portanto,  $\vec{E} = \frac{\rho \vec{d}}{3\epsilon_0} \text{ N/C}$

$$\vec{D} = \vec{E} + \vec{P}$$

$$C_{\text{esf}} = 4\pi\epsilon_0 \frac{ab}{b-a}$$

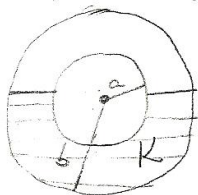
D'

### PROVA DE FIS 32 – 12.04.2010

NOME: *André Perugino de Moura Cavalcante*

1. Um capacitor esférico isolado possui carga  $+Q$  sobre o condutor interno e carga  $-Q$  sobre o condutor externo. A seguir, metade do volume entre os dois condutores é preenchido por um dielétrico com uma constante  $K$ , conforme indicado na figura.

- Determine a capacitância do capacitor.
- Determine a densidade superficial de carga livre sobre o condutor interno e sobre o condutor externo.
- Qual a relação entre as cargas livres e as cargas de polarização.





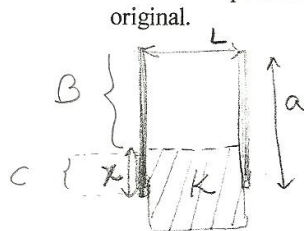
2. Considere um capacitor retangular de lados  $a$  e  $b$  e distância entre as placas  $L$ , preenchido com um dielétrico de constante dielétrica  $K$ , submetido a uma ddp  $V_0$ . Quando completamente carregado, o capacitor é desconectado do circuito o qual pertence, e é mantido isolado, enquanto o dielétrico é puxado para fora do capacitor. Uma parte do dielétrico de comprimento  $x$  fica dentro do capacitor. Calcule a força exercida pelo capacitor para recolocar o dielétrico na posição original.

\* Inicialmente,  $C_1 = \frac{K\epsilon_0 ab}{L}$

$C_1 = \frac{Q_1}{V} \Rightarrow Q_1 = \frac{K\epsilon_0 ab}{L} \cdot V_0$

\* Situação final:  $C_2 = \frac{\epsilon_0 (a-x)b}{L} + \frac{K\epsilon_0 xb}{L}$  (capacitores em paralelo)

$C_2 = \frac{\epsilon_0 b}{L} (a-x+Kx)$



Como o capacitor é mantido isolado:  $Q_2 = Q_1 \Rightarrow C_2 V_2 = \frac{K\epsilon_0 ab}{L} V_0 \Rightarrow$

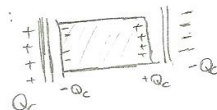
$\Rightarrow \frac{\epsilon_0 b}{L} (a-x+Kx) V_2 = \frac{K\epsilon_0 ab}{L} V_0 \Rightarrow V_2 = \frac{Ka V_0}{a-x+Kx} \quad (1)$

\* A carga na parte B (superior do capacitor) é:

$Q_B = \frac{\epsilon_0 (a-x)b}{L} V_2 = \frac{\epsilon_0 (a-x)b}{L} \cdot \frac{Ka V_0}{a-x+Kx} \Rightarrow Q_B = \frac{Kab(a-x)\epsilon_0 V_0}{L(a-x+Kx)} \quad (c)$

Analogamente:  $Q_C = \frac{K\epsilon_0 xb}{L} V_2 = \frac{K\epsilon_0 xb}{L} \cdot \frac{Ka V_0}{a-x+Kx} \Rightarrow Q_C = \frac{K^2 ab x \epsilon_0 V_0}{L(a-x+Kx)} \quad (c)$

\* No dielétrico, haverá uma carga induzida devido a  $Q_C$ :

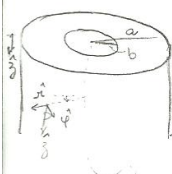


$F = ?$

3. Considere um cilindro oco de raio  $a$  e um fio cilíndrico co-axial de raio  $b$ . Usando a eq. de Laplace: a) Determine o potencial elétrico entre o fio e o cilindro, supondo o cilindro aterrado e fio cilíndrico mantido a um potencial  $V_0$ . Considere  $a > b$ .

b) Calcule o vetor campo elétrico nesta região.

$$\nabla^2 T = \frac{1}{r} \frac{\partial}{\partial r} \left( r \frac{\partial T}{\partial r} \right) + \frac{1}{r^2} \frac{\partial^2 T}{\partial \phi^2} + \frac{\partial^2 T}{\partial z^2} \quad \vec{\nabla} T = \frac{\partial T}{\partial r} \hat{r} + \frac{1}{r} \frac{\partial T}{\partial \phi} \hat{\phi} + \frac{\partial T}{\partial z} \hat{z}$$



a) Eq. de Laplace:  $\nabla^2 V = 0$

$$\vec{\nabla} V = \frac{\partial V}{\partial x} \hat{x} + \frac{1}{x} \frac{\partial V}{\partial \phi} \hat{\phi} + \frac{\partial V}{\partial z} \hat{z}$$

$$\nabla^2 V = \frac{1}{x} \frac{\partial}{\partial x} \left( x \frac{\partial V}{\partial x} \right) = 0 \Rightarrow x \frac{\partial V}{\partial x} = K_1 \Rightarrow \int \partial V = K_1 \int \frac{\partial x}{x} + K_2$$

$$V(x) = K_1 \ln\left(\frac{x}{b}\right) + K_2$$

$$\text{Para } x = b \Rightarrow V(b) = V_0 \Rightarrow K_1 \ln 1 + K_2 = V_0 \Rightarrow K_2 = V_0$$

$$\text{Para } x = a \Rightarrow V(a) = 0 \Rightarrow K_1 \ln\left(\frac{a}{b}\right) + V_0 = 0 \Rightarrow K_1 = - \frac{V_0}{\ln\left(\frac{a}{b}\right)}$$

$$\text{Logo, } V(x) = - \frac{V_0 \ln\left(\frac{x}{b}\right)}{\ln\left(\frac{a}{b}\right)} + V_0 \quad (V)$$

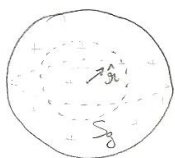
$$b) \vec{E} = - \vec{\nabla} V = - \frac{\partial V}{\partial x} \hat{x} = - \left( \frac{-V_0}{\ln\left(\frac{a}{b}\right)} \right) \cdot \frac{1}{b} \cdot \frac{1}{\left(\frac{x}{b}\right)} \hat{x} = \frac{V_0}{\ln\left(\frac{a}{b}\right)} \cdot \frac{1}{x} \hat{x} = \vec{E}$$

Obs: Pela simetria do problema, pode-se observar que o potencial elétrico não varia nas coordenadas  $\hat{\phi}$  e  $\hat{z}$  quando as demais são mantidas constantes. Por isso,  $\frac{\partial V}{\partial \phi} = 0 = \frac{\partial V}{\partial z}$

4. Considere uma esfera de raio  $R$  com uma distribuição de cargas dada por  $\rho(r) = Ar$  ( $A = \text{constante positiva}$ ). Calcule o potencial elétrico num ponto situado a uma distância  $r$  do centro da esfera, para  $r < R$  e para  $r = R$ .

$$\rho(r) = Ar$$

1)



Lei de Gauss:  $\oint \vec{E} \cdot d\vec{s} = \frac{q_{\text{int}}}{\epsilon_0}$

Mas:  $dq = \rho dV \Rightarrow dq = Ar \cdot 4\pi r^2 dr \Rightarrow q_{\text{int}} = \int_0^r A 4\pi r^3 dr$

$$q_{\text{int}} = 4A\pi \frac{r^4}{4} \Rightarrow q_{\text{int}} = A\pi r^4$$

Substituindo na Lei de Gauss:  $\oint \vec{E} \cdot d\vec{s} = \frac{A\pi r^4}{\epsilon_0} \Rightarrow E \cdot 4\pi r^2 = \frac{A\pi r^4}{\epsilon_0} \Rightarrow E = \frac{Ar^2}{4\epsilon_0} \hat{r}$

2)  $\Delta V = - \int_0^r \vec{E} \cdot d\vec{x} \Rightarrow V(r) - V(0) = - \int_0^r \frac{Ax^2}{4\epsilon_0} dx \Rightarrow V(r) = - \frac{A}{4\epsilon_0} \cdot \frac{x^3}{3} \Big|_0^r$

$\Rightarrow V(r) = - \frac{Ar^3}{12\epsilon_0}, r < R$

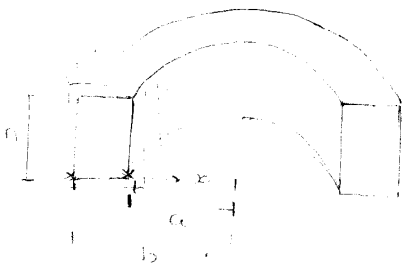
Para  $r = R$ :  $V(R) = - \frac{AR^3}{12\epsilon_0}$



PROVA DE FIS-32 – Turma 1 – 20.06.2008

NOME: Fernanda Lopes Vieira Ferreira

- Considere uma bobina retangular de  $N_2$  voltas enroladas ao redor de parte de um toróide de seção **retangular** de  $N_1$  voltas. O raio interno do toróide é  $a$ , seu raio externo é  $b$  e sua altura é  $h$ . Calcule o fluxo que atravessa o toróide e a indutância mútua para esta combinação.
- Mostre que  $M_{12} = M_{21}$ , para o toróide descrito no item a.
- Considere um toróide com seção **circular**, tal que o fluxo é dado por  $\phi = N\mu_0 i \left[ R - \sqrt{R^2 - a^2} \right]$ , onde  $R$  é o raio maior e  $a$  é o raio menor. Calcule a indutância mútua para este caso.



o cálculo é feito por integração

$$\Phi = \int B \cdot d\vec{A}$$

é um toróide de seção retangular

Assim  $B = \frac{\mu_0 i N_1}{2\pi r}$

o fluxo é dado por

$$\Phi = \int_a^b \mu_0 i N_1 h \frac{1}{2\pi r} dr = \frac{\mu_0 i N_1 h}{2\pi} \ln \left( \frac{b}{a} \right)$$

Indutância mútua para esta combinação

$$M_{12} = \frac{N_2 \Phi}{i} = \frac{N_2}{i} \cdot \frac{\mu_0 i N_1 h}{2\pi} \ln \left( \frac{b}{a} \right) = \frac{\mu_0 N_1 N_2 h}{2\pi} \ln \left( \frac{b}{a} \right)$$

b) Sejam as potências de indução  $\vec{B}_1$  e  $\vec{B}_2$  dadas por

$$\vec{B}_1 = \frac{\mu_0 i_1 N_1}{2\pi r} \hat{\phi} \quad (1)$$

o fluxo de indução  $\vec{B}_1$  através da bobina  $N_2$  é

$$\Phi_{12} = \int \vec{B}_1 \cdot d\vec{A} = \int \frac{\mu_0 i_1 N_1}{2\pi r} h dr = \frac{\mu_0 i_1 N_1 h}{2\pi} \ln \left( \frac{b}{a} \right)$$

Assim a indutância mútua  $M_{12}$  é dada por

$$M_{12} = \frac{N_2 \Phi_{12}}{i_1} = \frac{N_2}{i_1} \cdot \frac{\mu_0 i_1 N_1 h}{2\pi} \ln \left( \frac{b}{a} \right) = \frac{\mu_0 N_1 N_2 h}{2\pi} \ln \left( \frac{b}{a} \right)$$

Sejam as potências de indução  $\vec{B}_2$  e  $\vec{B}_1$  dadas por

$$\vec{B}_2 = \frac{\mu_0 i_2 N_2}{2\pi r} \hat{\phi} \quad (2)$$

o fluxo de indução  $\vec{B}_2$  através da bobina  $N_1$  é

$$\Phi_{21} = \int \vec{B}_2 \cdot d\vec{A} = \int \frac{\mu_0 i_2 N_2}{2\pi r} h dr = \frac{\mu_0 i_2 N_2 h}{2\pi} \ln \left( \frac{b}{a} \right)$$

c) Sejam as potências de indução  $\vec{B}_1$  e  $\vec{B}_2$  dadas por

$$\vec{B}_1 = \frac{\mu_0 i_1 N_1}{2\pi r} \hat{\phi} \quad (3)$$

o fluxo de indução  $\vec{B}_1$  através da bobina  $N_2$  é

$$\Phi_{12} = \int \vec{B}_1 \cdot d\vec{A} = \int \frac{\mu_0 i_1 N_1}{2\pi r} h dr = \frac{\mu_0 i_1 N_1 h}{2\pi} \ln \left( \frac{b}{a} \right)$$

$$L = \frac{N_2 \Phi_{12}}{i_1} = \frac{N_2}{i_1} \cdot \frac{\mu_0 i_1 N_1 h}{2\pi} \ln \left( \frac{b}{a} \right) = \frac{\mu_0 N_1 N_2 h}{2\pi} \ln \left( \frac{b}{a} \right)$$

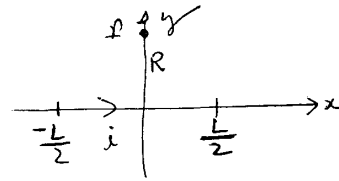
Assim a indutância mútua é dada por

o fluxo de indução  $\vec{B}_2$  através da bobina  $N_1$  é

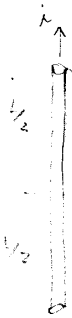
$$\Phi_{21} = \int \vec{B}_2 \cdot d\vec{A} = \int \frac{\mu_0 i_2 N_2}{2\pi r} h dr = \frac{\mu_0 i_2 N_2 h}{2\pi} \ln \left( \frac{b}{a} \right)$$

Dado:  $\int \frac{dx}{\sqrt{x^2+a^2}} = \ln(x + \sqrt{x^2+a^2})$

$$\int \frac{dx}{(x^2+a^2)^{3/2}} = \frac{x}{a^2 \sqrt{x^2+a^2}}$$



2. a) Um segmento de reta de comprimento  $L$  transporta uma corrente  $i$ . Use a Lei de Bio-Savart para calcular o vetor campo magnético à uma distância  $R$  do segmento.  
 b) Encontre o potencial vetor para o fio descrito no item a, e a partir do resultado obtido encontre o campo magnético. Mostre que o resultado é idêntico ao obtido no item a.



Lei de Bio-Savart é dada por:

$$d\vec{B} = \frac{\mu_0 i}{4\pi} \frac{d\vec{s} \times \vec{r}}{r^3}$$

Temos  $d\vec{s} = dy \hat{y}$

$$\vec{r} = R\hat{x} - y\hat{y}$$

$$d\vec{s} \times \vec{r} = dy(\hat{y} \times (R\hat{x} - y\hat{y})) = dy(-R\hat{z})$$

$$d\vec{B} = \frac{\mu_0 i}{4\pi} \frac{(-R dy \hat{z})}{r^3}$$

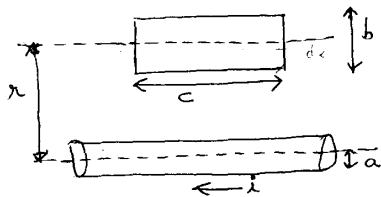
$$r = \sqrt{y^2 + R^2}$$

$$\vec{B} = \frac{\mu_0 i R}{4\pi} \int_{-L/2}^{L/2} \frac{dy}{(y^2 + R^2)^{3/2}} \hat{z}$$

$$= \frac{\mu_0 i R}{4\pi} \left( \frac{L/2}{R^2 \sqrt{L^2/4 + R^2}} - \frac{(-L/2)}{R^2 \sqrt{L^2/4 + R^2}} \right) \hat{z}$$

$$= \frac{\mu_0 i L}{2\pi R \sqrt{L^2/4 + R^2}} \hat{z}$$

$$\vec{B} = \frac{\mu_0 i L}{2\pi R \sqrt{L^2/4 + R^2}} \hat{z}$$



3. A densidade de corrente dentro de um fio cilíndrico, comprido e sólido de raio  $a$ , está na direção do eixo e varia ~~linearmente~~ com a distância radial  $r$  do eixo, de acordo com  $J = j_0 r^2 / a$ .
- Ache o campo magnético dentro e fora do fio.
  - Suponha este fio paralelo a uma espira retangular de lados  $b$  e  $c$ . Calcule o fluxo magnético através da espira.
  - Suponha que a espira se afaste do fio com velocidade  $v$ . Calcule a fem induzida na espira.

a) Calcule a densidade de corrente

$$J = j_0 \frac{r^2}{a} \Rightarrow \int_0^a J \cdot 2\pi r dr = \frac{2\pi j_0}{a} \int_0^a r^3 dr = \frac{2\pi j_0}{a} \cdot \frac{a^4}{4} = \frac{\pi j_0 a^3}{2}$$

$$I = \frac{\pi j_0 a^3}{2}$$

Calcule o campo magnético dentro e fora do fio

$$\oint \vec{B} \cdot d\vec{l} = \mu_0 I_{enc} \Rightarrow B \cdot 2\pi r = \mu_0 \pi j_0 \frac{r^4}{2a} \Rightarrow B = \frac{\mu_0 j_0 r^3}{4a}$$

Corrente fora do fio

$$I_{enc} = \int_0^a J \cdot 2\pi r dr = \frac{\pi j_0}{a} \int_0^a r^3 dr = \frac{\pi j_0 a^3}{4}$$

$$\oint \vec{B} \cdot d\vec{l} = \mu_0 I_{enc} \Rightarrow B \cdot (2\pi r) = \mu_0 \pi j_0 \frac{a^3}{4} \Rightarrow B = \frac{\mu_0 j_0 a^3}{8r}$$

c) Fluxo magnético através da espira

$$\Phi = \int \vec{B} \cdot d\vec{A} = \int_{x-b/2}^{x+b/2} \int_{y=0}^c B \cdot dy \cdot dx = \int_{x-b/2}^{x+b/2} \frac{\mu_0 j_0 a^3}{8} \ln \left( \frac{x+b/2}{x-b/2} \right) dx$$

$$\Phi = \frac{\mu_0 j_0 a^3 c}{8} \ln \left( \frac{x+b/2}{x-b/2} \right)$$

$$v = \frac{dx}{dt}$$

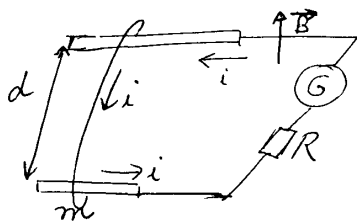
d) Quando a espira se afasta do fio com velocidade  $v$

Calcule a fem induzida na espira

$$\mathcal{E} = -\frac{d\Phi}{dt}$$

$$\mathcal{E} = -\frac{d}{dt} \left[ \frac{\mu_0 j_0 a^3 c}{8} \ln \left( \frac{x+b/2}{x-b/2} \right) \right]$$

$$\mathcal{E} = -\frac{\mu_0 j_0 a^3 c}{8} \cdot \frac{1}{\left( \frac{x+b/2}{x-b/2} \right)} \cdot \frac{d}{dt} \left( \frac{x+b/2}{x-b/2} \right)$$



4. Um fio metálico de massa  $m$  pode deslizar sem atrito sobre dois trilhos horizontais paralelos separados por uma distância  $d$ , conforme mostra a figura. Na região entre os trilhos existe uma campo de indução  $B$ . Uma corrente constante  $i$  mantida por um gerador  $G$ , percorre o circuito formado pelo fio de massa  $m$  e pelos dois trechos dos trilhos que o ligam ao gerador.

a) Calcule a velocidade do fio em função do tempo, supondo-o em repouso em  $t=0$ .  $v(0)=0$   
**Por que o fio se movimenta?**

b) Suponha o gerador substituído por um bateria que fornece um força eletromotriz constante  $\mathcal{E}$ . Calcule a velocidade do fio em função do tempo e a velocidade do fio para  $t$  tendendo a infinito. **Explique** a diferença nos resultados entre os itens a e b, se é que há diferença.

a) Temos um fio em um espaço onde existe um campo magnético  $B$ .  
 Como sabemos que esse fio é um condutor e que a corrente elétrica  $i$  está fluindo nele, então ele vai sofrer uma força.

Força =  $d\vec{l} \times \vec{B}$ , onde  $d\vec{l}$  seria o comprimento do fio.

Como os trilhos são horizontais temos a força para se mover para cima ou para baixo, mas como o fio não pode sair dos trilhos, então a única coisa que acontece é a magnitude da força. Então a força é  $F = i d B$ , integrando  $\int_0^t i d B dt = \int_0^t i d B dt$

$$m(v - v_0) = i d B t \Rightarrow v = \frac{i d B}{m} t \quad \text{onde } i \text{ é a corrente do fio}$$

b) Agora tem uma força eletromotriz constante  $\mathcal{E}$ .

Seja  $q$  a carga que passa pelo fio de massa  $m$  em um tempo  $t$ . Então a força é  $F = q v \times B$ .

$$q v \times B = q v \times B \quad (\text{no fio})$$

$$\text{mas } q = \frac{dq}{dt} \rightarrow \frac{q}{R} = \frac{dq}{dt} \rightarrow dq = \frac{\mathcal{E}}{R} dt \rightarrow q = \frac{\mathcal{E} t}{R}$$

$$q v \times B = m a \rightarrow -q v B \sin 90^\circ = m \frac{dv}{dt}$$

$$\rightarrow a_{\text{im}} = -\frac{\mathcal{E} t}{R} v B \sin 90^\circ = m \frac{dv}{dt}$$

Resolvendo a EDO:

$$v' + \frac{\mathcal{E} t B}{R m} v = 0$$

$$v' + \frac{\mathcal{E} t B}{R m} v = 0$$

$$h(t) = \exp\left(-\frac{\mathcal{E} t B}{2 R m}\right) + \frac{\mathcal{E} t B}{2 R m} dt = C$$

$$(v e^{-\frac{\mathcal{E} t B}{2 R m}})' = 0 \rightarrow v = \left(1 - e^{-\frac{\mathcal{E} t B}{2 R m}}\right)$$

Para  $t \rightarrow \infty$

$$v = 0$$

existe a diferença no resultado pois na letra (a) tinhamos um gerador que mantém a corrente  $i$ , na letra (b) conforme o fio anda a corrente vai diminuindo.

5. Considere um cilindro infinitamente longo, de raio  $R$ , com uma magnetização paralela ao eixo  $\vec{M} = kr\hat{z}$ , onde  $k$  é uma constante e  $r$  é a distância do eixo do cilindro a um ponto qualquer. Não há corrente de condução circulando no cilindro.
- Ache as densidades de corrente de magnetização volumétrica e superficial na forma vetorial;
  - Ache o campo magnético  $\vec{B}$  e o vetor  $\vec{H}$  dentro e fora do cilindro.



a) densidade de corrente

divergência

campo magnético

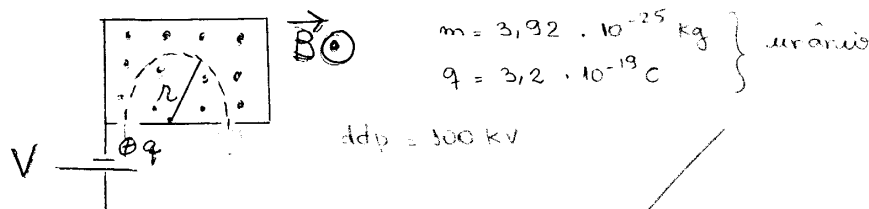


PROVA DE FIS-32 – Turma 1 – 16.05.2008

NOME: Fernanda Lopes Viana Ferreira

1. Num espectrômetro de massa usando para fins comerciais, íons de urânio de massa igual a  $3,92 \times 10^{-25} \text{ kg}$  e carga de  $3,2 \times 10^{-19} \text{ C}$  são separados pelas espécies relacionadas. Primeiramente, os íons são acelerados através de uma diferença de potencial de  $100 \text{ kV}$  e, então passam dentro de um campo magnético, onde são deslocados numa trajetória de raio igual a  $1,0 \text{ m}$ . Depois de ter viajado através de  $180^\circ$ , eles são coletados numa taça de  $1,0 \text{ cm}$  de raio.

- Determine uma expressão para a massa do íon em função de  $B$ ,  $q$ ,  $V$  e  $r$  (raio da trajetória).
- Qual é o módulo do campo magnético (perpendicular) no separador?
- Se o dispositivo é feito para separar  $100 \text{ mg}$  de material por hora, calcule a corrente dos íons contidos no dispositivo;
- Calcule a energia térmica dissipada na taça durante uma hora.



a) Podemos conservar a energia dos íons:

$$E_p = E_c \rightarrow qV = \frac{mv^2}{2} \rightarrow v = \frac{\sqrt{2qV}}{m}$$

Assim quando entra no campo magnético os íons possuem esta velocidade.

$$\text{Trajetória circular} \rightarrow r = \frac{mv}{qB} \rightarrow r = \frac{m}{qB} \cdot \frac{\sqrt{2qV}}{m} \rightarrow r^2 = \frac{m^2}{q^2 B^2} \cdot \frac{2qV}{m}$$

$$\rightarrow \boxed{m = \frac{r^2 q B^2}{2V}}$$

b) Da expressão acima temos:  $B = \sqrt{\frac{2V m}{r^2 q}} = \sqrt{\frac{2 \cdot 100 \cdot 10^3 \cdot 3,92 \cdot 10^{-25}}{1^2 \cdot 3,2 \cdot 10^{-19}}} \Rightarrow \boxed{B = 0,49 \text{ T}}$

c) São separados  $100 \text{ mg}$  de material por hora.

$$3,92 \cdot 10^{-25} \text{ kg material} \cdot 3,2 \cdot 10^{-19} \text{ C} \rightarrow q_{\text{sep}} = \frac{3,2 \cdot 10^{-23}}{3,92 \cdot 10^{-25}} = \frac{3,2}{3,92} \cdot 10^2 \text{ C}$$

$$100 \cdot 10^{-6} \text{ kg material (separado)} = q_{\text{sep}} \rightarrow i = \frac{q}{t} \rightarrow i = \frac{q_{\text{sep}}}{t} = \frac{3,2}{3,92} \cdot 10^2 \cdot \frac{1}{3600}$$

$$i = \frac{3,2}{3,92 \cdot 36} \text{ A} \rightarrow \boxed{i = 2,27 \cdot 10^{-2} \text{ A}}$$

d) Energia térmica dissipada na taça em 1 h:

Energia potencial  $\rightarrow$  Energia cinética  $\rightarrow$  Energia térmica

Assim:  $E_{\text{pot}} = E_T \rightarrow P = \frac{E_T}{t} \rightarrow E_T = V \cdot i \cdot t = 100 \cdot 10^3 \cdot \frac{3,2}{3,92 \cdot 36} \Rightarrow \boxed{E_T = 8,16 \cdot 10^6 \text{ J}}$

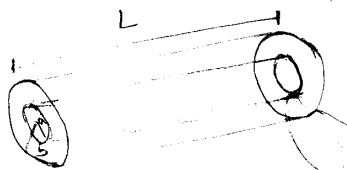
2. a) Um cilindro oco possui comprimento  $L$ , raio interno  $a$  e externo  $b$ . A resistividade do material é  $\rho$ . Existe uma ddp  $V$  entre a superfície interna e externa do cilindro, de modo que a corrente escoa radialmente entre as paredes do cilindro. Qual é a resistência para este escoamento radial?

b) Determine uma expressão para a densidade de corrente  $J$  em função de  $r$ .

c) Supondo o mesmo cilindro oco, mas a ddp se estabelece entre as bases do cilindro, percorrendo uma corrente paralela ao eixo. Qual é a resistência do resistor?

d) Suponha agora um cilindro condutor de raio  $R$  não oco, cuja densidade de corrente varia de acordo com a equação:  $J = J_0(1-r/R)$ , onde  $r$  é a distância a partir do eixo. Calcule a corrente elétrica em função de  $J_0$  e do raio  $R$ .

a) como  $V$  está entre as superfícies interna e externa do cilindro a corrente escoa radialmente pelas paredes, desta forma:



$$dR = \frac{\rho dx}{2\pi x L} \rightarrow R = \int_a^b \frac{\rho dx}{2\pi x L}$$

$$R = \frac{\rho}{2\pi L} \ln\left(\frac{b}{a}\right)$$

b)  $i = \int \vec{J} \cdot d\vec{A}$  mas  $V = R i \rightarrow$  precisamos uma expressão de  $J$  em função de  $r$

$$\rightarrow R = \frac{\rho}{2\pi L} \ln\left(\frac{b}{a}\right) \rightarrow i = \frac{V}{R}$$

$J$  é uniforme  $\rightarrow i = J \int dA$

$$\rightarrow i = J \cdot \int_a^b 2\pi x dx \rightarrow i = J \cdot 2\pi L (b-a) = \frac{V}{R}$$

$$\rightarrow J = \frac{V}{R} \cdot \frac{1}{2\pi L (b-a)} = \frac{V}{2\pi L (b-a)} \cdot \frac{2\pi L}{\rho \ln(b/a)} \rightarrow \boxed{J = \frac{V}{\rho \ln(b/a)}} \quad A/m^2$$

c) Agora a ddp se estabelece entre as bases do cilindro:

desta forma:  $R = \frac{\rho L}{A}$ , em que  $A = \pi b^2 - \pi a^2$

$$\rightarrow R = \frac{\rho L}{\pi (b^2 - a^2)}$$

d) Cilindro condutor não oco de raio  $R$ :  $J = J_0(1-r/R)$

Cálculo da corrente elétrica:

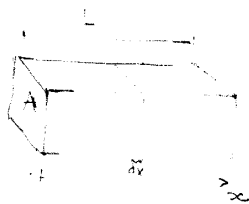
$$i = \int \vec{J} \cdot d\vec{A} = \int J \cdot dA = \int_0^R J_0 \left(1 - \frac{r}{R}\right) 2\pi r dr = 2\pi J_0 \int_0^R \left(r - \frac{r^2}{R}\right) dr$$

$$i = 2\pi J_0 \left( \frac{R^2}{2} - \frac{R^2}{3R} \right) = 2\pi J_0 R^2 \left( \frac{1}{2} - \frac{1}{3} \right)$$

$$i = \frac{J_0 \pi R^2}{3} \quad A$$

3. A resistividade de um semi-condutor pode ser alterada adicionando-se diferentes quantidades de impurezas. Uma barra de um semiconductor de comprimento  $L$  e seção reta com área  $A$  está ao longo do eixo  $Ox$  entre  $x=0$  e  $x=L$ . O material obedece a Lei de Ohm e sua resistividade varia ao longo da barra de acordo com a relação  $\rho = \rho_0 \exp(-x/L)$ . A extremidade da barra para  $x=0$  está a um potencial  $V_0$  mais elevado do que o potencial da extremidade  $x=L$ , à um potencial zero.

- Calcule a resistência total da barra e a corrente que flui através dela.
- Determine o módulo do campo elétrico  $E(x)$  na barra em função de  $x$ .



O material obedece a lei de Ohm  
 resistividade  $\rho = \rho_0 e^{-x/L}$   
 $x=0 \rightarrow V_0 \quad x=L \rightarrow V=0 \rightarrow dV = -V_0/L dx$

a) cálculo da resistência:  $dR = \frac{\rho dx}{A} \rightarrow R = \int_0^L \frac{\rho_0 e^{-x/L}}{A} dx$

$$R = \frac{\rho_0}{A} \int_0^L e^{-x/L} dx = \frac{\rho_0}{A} (-L) e^{-x/L} \Big|_0^L = \frac{\rho_0}{A} L (1 - e^{-1})$$

$$R = \frac{\rho_0 L}{A} \left(1 - \frac{1}{e}\right)$$

cálculo da corrente:  $V = RI \rightarrow I = \frac{V}{R} \rightarrow I = \frac{V_0}{\frac{\rho_0 L}{A} \left(1 - \frac{1}{e}\right)} = \frac{V_0 A e}{\rho_0 L (e-1)}$

Pois um material obedece a lei de Ohm

$$I = \frac{V_0 A}{\rho_0 L} \left(\frac{e}{e-1}\right)$$

b) Campo elétrico  $E(x)$

Sabemos que  $\vec{E} = \rho \vec{J} \quad i = \int \vec{J} \cdot d\vec{A} = \int J \cdot dA = J \int dA = JA$

$$i = JA \rightarrow J = i/A \rightarrow E(x) = \rho i/A = \rho_0 e^{-x/L} \frac{i}{A}$$

$$E(x) = \rho_0 e^{-x/L} \frac{V_0 A}{\rho_0 L} \left(\frac{e}{e-1}\right) \frac{1}{A}$$

$$\left| E(x) = \frac{V_0}{L} e^{-x/L} \left(\frac{e}{e-1}\right) \right| \text{ N/C}$$

4. a) Encontre a expressão para a corrente durante o processo de descarga de um capacitor de capacitância  $C$  e deduza uma expressão para a potência instantânea  $P = Ri^2$  no resistor.  
 b) Calcule a **energia total** dissipada no resistor e mostre que ela é igual a energia total armazenada inicialmente no capacitor.

a) Processo de descarga de um capacitor

- lei de Kirchhoff para a malha

$$Ri + \frac{q}{C} = 0 \rightarrow R \frac{dq}{dt} + \frac{q}{C} = 0 \rightarrow \mu(t) = e^{-t/RC}$$

multiplicando por  $e^{t/RC}$

$$\frac{dq}{dt} e^{t/RC} + e^{t/RC} \frac{q}{C} = 0 \rightarrow \left( q e^{t/RC} \right)' = 0 \rightarrow q = C_1 e^{-t/RC}$$

essa constante  $C_1$  pode ser determinada pela carga inicial do capacitor

$$t = 0 \rightarrow q = q_0 \rightarrow C_1 = q_0$$

assim vamos supor que este capacitor tivesse sido inicialmente carregado por uma bateria ideal de fem igual a  $\mathcal{E} \rightarrow q_0 = C\mathcal{E}$

$$\rightarrow q = C\mathcal{E} e^{-t/RC} \quad \text{mas} \quad i = \frac{dq}{dt} \rightarrow i = -\frac{C\mathcal{E}}{RC} e^{-t/RC}$$

$$i = -\frac{\mathcal{E}}{R} e^{-t/RC}$$

Potência instantânea no resistor:  $P = Ri^2 = R \cdot \frac{\mathcal{E}^2}{R^2} e^{-2t/RC}$

$$P = \frac{\mathcal{E}^2}{R} e^{-2t/RC}$$

b) Energia total armazenada inicialmente no capacitor

$$E = \frac{1}{2} \frac{q^2}{C} = \frac{1}{2} \frac{C^2 \mathcal{E}^2}{C} \rightarrow E_c = \frac{1}{2} \mathcal{E}^2 C$$

energia total dissipada no resistor

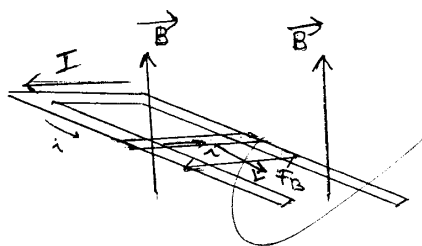
$$P = \frac{E}{t} \rightarrow E = \int_0^{\infty} P \cdot dt \Rightarrow E = \int_0^{\infty} \frac{\mathcal{E}^2}{R} e^{-2t/RC} \cdot dt$$

$$E = -\frac{\mathcal{E}^2}{R} \frac{RC}{2} e^{-2t/RC} \Big|_0^{\infty} = -\frac{\mathcal{E}^2 C}{2} (0 - 1)$$

$$E_2 = \frac{1}{2} \mathcal{E}^2 C$$

$$\text{Assim} \quad E_R = E_c = \frac{1}{2} \mathcal{E}^2 C$$

5. Uma barra condutora de comprimento  $L$  e massa  $m$  desliza sobre trilhos horizontais conectados a uma fonte de voltagem, que mantém uma corrente constante  $I$  nos trilhos e na barra. Um campo vertical uniforme  $B$  preenche o espaço entre os trilhos.
- Determine a força resultante sobre a barra (módulo, direção e sentido).
  - Se a barra possui massa  $m$ , calcule a distância  $d$  que ela deve percorrer ao longo dos trilhos, partindo do repouso, até atingir uma velocidade  $v$ .
  - Existem teorias sobre a possibilidade de que a propulsão baseada neste princípio possa ser usada para acelerar cargas e colocá-las em órbita ao redor da Terra e até mesmo fazer o objeto sair da atração terrestre. Calcule a distância que a barra deve percorrer para atingir a velocidade de escape da Terra (11,2 km/s). Considere  $B=0,50T$ ,  $I=2000$  A,  $m=25\text{kg}$  e  $L=50\text{cm}$ .



$$a) \vec{F}_B = i \vec{L} \times \vec{B}$$

direção de  $\vec{F}_B$  é a direção perpendicular à barra  $L$  e tem sentido apontado para a parte aberta dos trilhos.

Assim  $|\vec{F}_B| = i L B \sin \theta \quad \theta = 90^\circ$

$$|\vec{F}_B| = 2000 \cdot 0,50 \cdot 0,5 = 500 \text{ N}$$

$$|\vec{F}_B| = 500 \text{ N}$$

- b) Os trilhos são horizontais, assim a única força horizontal que atua é a magnética

$$\vec{F}_B = m \vec{a} \Rightarrow \vec{a} = \frac{\vec{F}_B}{m} \rightarrow a = \frac{500}{25} = 20 \text{ m/s}^2$$

$$v^2 = v_0^2 + 2a\Delta s, \quad v_0 = 0 \text{ (Parte do repouso)}$$

$$v^2 = 2a \cdot d \rightarrow d = \frac{v^2}{2a} \rightarrow d = \frac{v^2}{40} \text{ m}$$

$$d = \frac{v^2 m}{2ILB}$$

- c) Barra atinge a velocidade de escape da Terra 11,2 km/s

$$v = 11,2 \frac{\text{km}}{\text{s}} = 11,2 \cdot 10^3 \text{ m/s}$$

$$d = \frac{v^2}{2a} \rightarrow d = \frac{(11,2 \cdot 10^3)^2}{2 \cdot 20} = 3,136 \cdot 10^6$$

$$d = 3,136 \cdot 10^6 \text{ m}$$

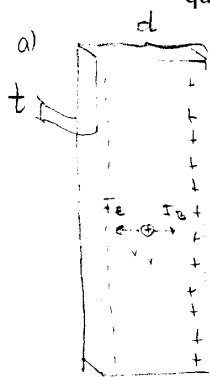


# EXAME DE FIS-32 TURMA 1 - JUNHO 2008

Nome: Fernando Lopes Vieira FERNANDES

1. a) Encontre uma expressão entre o campo elétrico Hall  $E_H$  e o campo elétrico  $E$ , responsável pela corrente, em função de  $B$ ,  $n$ ,  $q$  e  $\rho$ , onde  $\rho$  é a resistividade do material e  $n$  é o número de portadores de carga por unidade de volume.

b) Numa experiência projetada para a medição do campo magnético da Terra, mediante o efeito Hall, coloca-se uma barra de cobre, com espessura  $t$ , na direção leste-oeste. Se uma corrente  $I$  no condutor provoca uma voltagem Hall denominada de  $V_H$ , que expressão pode se obter para o campo magnético da Terra? Considere  $n$  o número de elétrons/m<sup>3</sup> e que o plano da barra seja perpendicular à direção de  $B$ .



No efeito hall temos um campo magnético que faz surgir um campo elétrico nas partículas carregadas. Quando a  $F_B = F_E$  temos o efeito hall e as partículas carregadas que passam depois terão velocidade constante.

$$F_B = q \cdot v \cdot B \quad \text{nesto caso o campo elétrico } E \text{ é dado por}$$

$$F_E = q \cdot E \quad V = E \cdot d \quad (V \text{ é a diferença de potencial entre os lados})$$

O campo elétrico hall pode ser calculado a partir da força magnética

$$F_B = q \cdot v \cdot B \rightarrow E_H = v \cdot B$$

$$E_c = \rho \cdot J = \rho \cdot n \cdot q \cdot v_d \quad \text{Assim quando } F_E = F_B \text{ temos } v_d = \frac{E_c}{B}$$

$$\rightarrow E_c = \rho \cdot n \cdot q \cdot v_d = \rho \cdot n \cdot q \cdot \frac{E_H}{B} \rightarrow E_H = \frac{B}{\rho \cdot n \cdot q} E_c$$

b)

No efeito hall a força magnética se iguala a elétrica

$F_B = F_E$  e a partir disso as partículas carregadas seguem com velocidade constante.

$$\text{temos o campo elétrico } F_B = q \cdot E = q \cdot v \cdot B$$

$$\rightarrow v_d \cdot B = \frac{V}{d} \rightarrow J = n \cdot e \cdot v_d \rightarrow \frac{J}{nq} B = \frac{V_H}{d} \quad (1) \quad \text{(considerando a mesma figura da letra a)}$$

mas a corrente  $I = \int J da = J \cdot d \cdot t$ , onde  $t$  é a espessura da barra

Substituindo em (1), temos:

$$\frac{J}{nq} B = \frac{V_H}{d} \rightarrow \frac{I}{nq t} B = \frac{V_H}{d} \rightarrow$$

$$B = \frac{V_H \cdot n \cdot q \cdot t}{I}$$

1.5

2. Um fio de silício puro com resistividade  $\rho$  está conduzindo uma corrente elétrica. O campo elétrico varia senoidalmente com o tempo de acordo com a equação

$E = E_0 \sin(\omega t)$ , onde  $E_0$  é a amplitude do campo elétrico dada em V/m e  $\omega = 2\pi f$ .

- Calcule o módulo da densidade de corrente de condução máxima no fio.
- Supondo  $\epsilon = \epsilon_0$ , determine a densidade da corrente de deslocamento máxima no fio e compare o resultado com a resposta obtida no item (a). Observe que a densidade de corrente de condução não é necessariamente igual a densidade de corrente de deslocamento. Por que isto acontece?
- Para qual frequência a densidade de corrente de deslocamento máxima torna-se igual à densidade de corrente de condução máxima?

a) Campo elétrico  $E = E_0 \sin(\omega t)$

$$E = \rho \cdot J \rightarrow J = \frac{E_0 \sin(\omega t)}{\rho}$$

$$J_{\max} = \frac{E_0}{\rho}$$

b) Supondo  $E = E_0$  temos o campo elétrico constante  
Assim podemos calcular a densidade da corrente de deslocamento  
que é dada por  $J$

$$\text{mas } E = \rho \cdot J \rightarrow E_0 = \rho \cdot J \rightarrow J = \frac{E_0}{\rho}$$

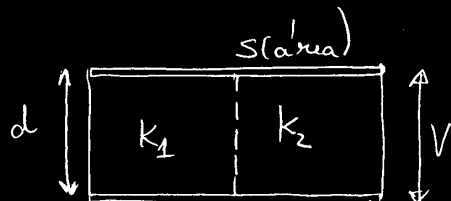
c) Temos  $\omega = 2\pi f$

$$E = E_0 \sin(\omega t)$$

Assim quando  $\omega = \frac{\pi}{2}$  temos  $\vec{J}_d = \vec{J}_{\text{cond}}$

$$\text{assim } 2\pi f = \frac{\pi}{2} \rightarrow f = \frac{1}{4}$$

frequência igual a 0,25 Hz //



1.5

3. Um capacitor plano de placas paralelas é preenchido por dois dielétricos de mesmas dimensões mas com constantes dielétricas diferentes. Seja  $V$  a ddp entre as placas. Determinar:

a) a capacitância, desprezando os efeitos de borda;

b) a densidade superficial na placa do capacitor.

Expresse o resultado em função de  $\epsilon_0$ ,  $V$ ,  $k_1$ ,  $k_2$ ,  $S$  e  $d$ .

a) Este capacitor pode ser expresso da seguinte forma:



Assim é o mesmo que se tivéssemos os capacitores  $C_1$  e  $C_2$  em paralelo

$$C_1 = \frac{k_1 \epsilon_0 S}{2d} ; C_2 = \frac{k_2 \epsilon_0 S}{2d}$$

$$C_{eq} = C_1 + C_2$$

$$C = \frac{(k_1 + k_2) \epsilon_0 S}{2d} \quad \text{capacitância}$$

b) Temos uma ddp =  $V$

$$Q = CV \rightarrow q = \frac{(k_1 + k_2) \epsilon_0 S}{2d} V$$

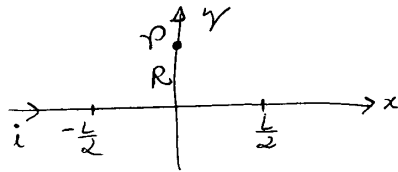
A densidade superficial de carga é dada por:

$$\sigma = \frac{q}{A} = \frac{q}{S} \Rightarrow$$

$$\sigma = \frac{(k_1 + k_2) \epsilon_0 V}{2d}$$

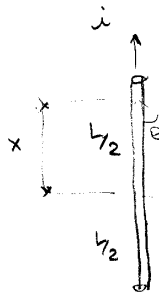
Dado:  $\int \frac{dx}{\sqrt{x^2+a^2}} = \ln(x + \sqrt{x^2+a^2})$

$\int \frac{dx}{(x^2+a^2)^{3/2}} = \frac{x}{a^2 \sqrt{x^2+a^2}}$



1.0

4. a) Um segmento de reta de comprimento  $L$  transporta uma corrente  $i$ . Use a Lei de Bio-Savart para calcular o vetor campo magnético à uma distância  $R$  do segmento.  
b) Encontre o potencial vetor para o fio descrito no item a, e a partir do resultado obtido encontre o campo magnético. Mostre que o resultado é idêntico ao obtido no item a.



a) Utilizando a lei de bio-savart temos:

$$d\vec{B} = \frac{\mu_0 i}{4\pi} \frac{d\vec{s} \times \vec{r}}{r^3} = \frac{\mu_0 i}{4\pi} \frac{ds \sin\theta}{r^2}$$

$$\vec{B} = \frac{\mu_0 i}{4\pi} \int_{-L/2}^{L/2} \frac{R dx}{(x^2+R^2)^{3/2}} = \frac{\mu_0 i}{4\pi} \frac{R}{R^2 \sqrt{x^2+R^2}} \Big|_{-L/2}^{L/2}$$

$$\vec{B} = \frac{\mu_0 i}{4\pi} \frac{L}{R \sqrt{L^2/4 + R^2}} \rightarrow \vec{B} = \frac{\mu_0 i L}{2\pi R \sqrt{L^2/4 + R^2}} \hat{\phi}$$

b) Potencial vetor  $\rightarrow$  campo magnético

Vale ressaltar as quatro equações de Maxwell:

• Lei de Gauss para a eletrostática

$$\oint \vec{E} \cdot d\vec{s} = \frac{q}{\epsilon_0} \quad \text{ou} \quad \text{div } \vec{E} = \frac{\rho}{\epsilon_0}$$

Fisicamente temos que esta equação serve um indicador local de carga

• Lei de Gauss para o magnetismo

$$\oint \vec{B} \cdot d\vec{s} = 0 \quad \text{ou} \quad \text{div } \vec{B} = 0$$

Fisicamente não podem existir polos magnéticos individuais no espaço

• Eq. que relaciona o campo  $\vec{E}$  com o  $\phi_B$

$$\oint \vec{E} \cdot d\vec{l} = - \frac{d\phi_B}{dt} \quad \text{ou} \quad \text{rot } \vec{E} = - \frac{\partial \vec{B}}{\partial t}$$

Fisicamente temos que a variação do fluxo magnético gera campo elétrico.

• Eq. que relaciona o campo  $\vec{B}$  com a densidade de corrente  $\vec{j}$

$$\oint \vec{B} \cdot d\vec{l} = \mu_0 \epsilon_0 \frac{d\phi_E}{dt} + \mu_0 i_{\text{env}} \quad \text{ou} \quad \text{rot } \vec{B} = \mu_0 (\vec{j} + \epsilon_0 \frac{\partial \vec{E}}{\partial t})$$

Fisicamente temos uma variação do fluxo elétrico juntamente com uma corrente envolvida num laço geram um campo magnético  $\vec{B}$ .

Assim não temos o potencial vetor porém temos as 4 equações de Maxwell nas formas diferencial e integral.

mas não me  
aparece  
A=.

1.0

5. Considere um disco fino de plástico de raio  $R$  que contém uma carga  $q$ , uniformemente distribuída sobre sua superfície. O disco gira com uma velocidade angular  $\omega$  em torno do seu eixo. Calcule o campo magnético no centro do disco, em função de  $\omega, q$  e  $R$ .



Sabemos que o campo magnético pode ser calculado de duas formas:

Lei de Bio-Savart:  $d\vec{B} = \frac{\mu_0}{4\pi} \frac{d\vec{s} \times \vec{r}}{r^3}$   
 Lei de Ampere:  $\oint \vec{B} \cdot d\vec{l} = \mu_0 i_{env}$  espere  $d\vec{s} = \frac{\omega d\vec{l}}{2\pi}$

Neste caso o disco gira e teremos uma força magnética central

$$F_B = q \cdot v \cdot B = q \cdot \omega R \cdot B$$

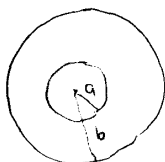
mas  $F_B = F_{res} = m\omega^2 R$  (centrípeta) ,  $q\omega R B = m\omega^2 R$

Assim  $B = \frac{m\omega}{q}$  mas a massa  $m$  é devido a carga espalhada em  $\pi R^2$  (área)  $\rightarrow$  devemos ter uma densidade superficial de carga

$$\sigma = \frac{q}{A} \Rightarrow m = \sigma \pi R^2 \rightarrow B = \frac{\sigma \pi R^2 \omega}{q}$$

1.0

6. Um capacitor cilíndrico tem raios  $a$  e  $b$  ( $b > a$ ). Encontre a energia potencial elétrica armazenada na região entre os raios  $a$  e  $b$ , em função da carga  $q$ , dos raios  $a$  e  $b$ , do comprimento do cilindro  $L$  e da constante  $\epsilon_0$ . Para que valor de  $r$  se encontra armazenada metade da energia potencial elétrica?



Sabemos que  $V = \int \vec{E} \cdot d\vec{l} = \int_a^b \frac{q}{2\pi r L \epsilon_0} \cdot dr$

$$V = \frac{q}{2\pi L \epsilon_0} \ln(b/a)$$

$$\rightarrow q = C \cdot V \rightarrow C = \frac{q}{V} = \frac{q}{\frac{q}{2\pi L \epsilon_0} \ln(b/a)} \rightarrow C = \frac{2\pi L \epsilon_0}{\ln(b/a)}$$

$$E_p = \frac{1}{2} C V^2 = \frac{1}{2} \frac{2\pi L \epsilon_0}{\ln(b/a)} \frac{q^2}{(2\pi L \epsilon_0)^2} \ln^2(b/a)$$

$$\rightarrow E_p = \frac{q^2 \ln(b/a)}{4\pi L \epsilon_0}$$

Para termos uma energia  $E' = \frac{1}{2} E_p \rightarrow V' = \frac{q}{2\pi L \epsilon_0} \ln(r/a) \rightarrow$

Teremos uma capacitância  $C' = \frac{2\pi L \epsilon_0}{\ln(r/a)}$  Assim

$$\text{temos: } E' = \frac{q^2 \ln(r/a)}{4\pi L \epsilon_0} = \frac{1}{2} \frac{q^2 \ln(b/a)}{4\pi L \epsilon_0}$$

$$\rightarrow \ln(r/a) = \frac{1}{2} \ln(b/a) \rightarrow \sqrt{b/a} = r/a \rightarrow \boxed{r = \sqrt{ab}}$$

Campo elétrico

$$\oint \vec{E} \cdot d\vec{l} = \frac{q}{\epsilon_0}$$



PROVA MENSAL DE FIS-32 – Turma 3 – 30.03.2007

NOME: Maykon Lorencini Bergamaschi

1. Considere o potencial  $V$  como uma função de  $\varphi$ , em coordenadas cilíndricas. Considere as condições de contorno:

$V = 0$  em  $\varphi = 0$

$V = V_0$  em  $\varphi = \alpha$ .

a) Faça um esboço mostrando as superfícies equipotenciais;

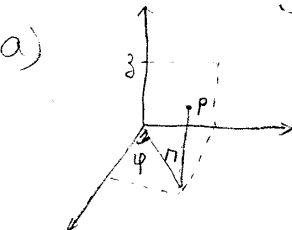
b) Determine a função potencial e o vetor campo elétrico usando a equação de Laplace.

Em coordenadas cilíndricas  $(r, \varphi, z)$ :

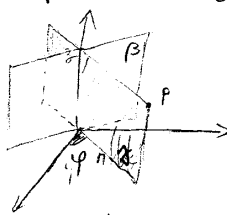
$$\nabla^2 V = \frac{1}{r} \frac{\partial}{\partial r} \left( r \frac{\partial V}{\partial r} \right) + \frac{1}{r^2} \frac{\partial^2 V}{\partial \varphi^2} + \frac{\partial^2 V}{\partial z^2}$$

$$\vec{\nabla} V = \frac{\partial V}{\partial r} \hat{r} + \frac{1}{r} \frac{\partial V}{\partial \varphi} \hat{\varphi} + \frac{\partial V}{\partial z} \hat{z}$$

a)



O ponto P representado em coordenadas cilíndricas.



Esboço das superfícies equipotenciais: os pontos contidos no plano  $\varphi$  estão em um mesmo potencial. Os pontos pertencentes a  $\varphi$  também se encontram em um mesmo potencial.

que são planos

b) Determinando o potencial pela equação de Laplace:

$$\nabla^2 V = 0$$

$$\frac{1}{r} \frac{\partial}{\partial r} \left( r \frac{\partial V}{\partial r} \right) + \frac{1}{r^2} \frac{\partial^2 V}{\partial \varphi^2} + \frac{\partial^2 V}{\partial z^2} = 0$$

$$\frac{\partial^2 V}{\partial \varphi^2} = 0 \quad \text{Integrando duas vezes,}$$

obtemos  $V(\varphi) = A \cdot \varphi + B$ ,  $A, B \in \mathbb{R}$ .

Segundo as condições de contorno do problema,  $V(0) = 0$  e  $V(\alpha) = V_0$ . Daí vem o sistema:

$$\begin{cases} V(0) = A \cdot 0 + B = 0 \\ V(\alpha) = A \cdot \alpha + B = V_0 \end{cases}$$

cuja solução é  $A = \frac{V_0}{\alpha}$ ,  $B = 0$ .

Assim, a função potencial é:

$$V(\varphi) = \frac{V_0}{\alpha} \cdot \varphi$$

O campo elétrico  $\vec{E}$  é dado por:

$$\vec{E} = -\vec{\nabla} V$$

$$\vec{E} = - \left( \frac{\partial V}{\partial r} \hat{r} + \frac{1}{r} \frac{\partial V}{\partial \varphi} \hat{\varphi} + \frac{\partial V}{\partial z} \hat{z} \right)$$

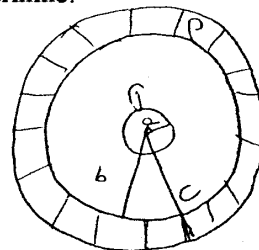
$$\vec{E} = - \frac{1}{r} \cdot \frac{\partial V}{\partial \varphi} \hat{\varphi}$$

$$\vec{E} = - \frac{1}{r} \cdot \frac{V_0}{\alpha} \hat{\varphi}$$

$$\vec{E} = - \frac{V_0}{r \alpha} \hat{\varphi}$$

2. Uma esfera oca isolante possui raio interno  $b$  e raio externo  $c$  e contém uma distribuição de cargas  $\rho = B/r$  ( $B = \text{constante}$ ). No centro desta esfera oca está centrada uma esfera maciça condutora de raio  $a$  e que possui densidade superficial  $\sigma$ . Determine:

- o campo elétrico para  $r < a$ ;
- para  $a < r < b$ ;
- o campo elétrico para  $b < r < c$ ;
- o campo elétrico para  $r > c$ ;
- o valor de  $\sigma$  para que o campo seja nulo nos pontos  $r > c$ ;



a) Em condutores, a carga se encontra distribuída em sua superfície. Considerando uma superfície gaussiana esférica de raio  $r < a$ , a carga em seu interior é nula. Logo, segundo a Lei de Gauss:  $\oint \vec{E} \cdot d\vec{S} = \frac{1}{\epsilon_0} q_{\text{int}} = 0 \Rightarrow \vec{E} = \vec{0}$ , para  $r < a$ .

b) Considere uma superfície gaussiana esférica de raio  $r$  tal que  $a < r < b$ . A carga contida em seu interior é a carga  $Q_1$  da esfera maciça condutora, a qual vale:

$$Q_1 = \int \sigma dS = \sigma \int dS = \sigma \cdot 4\pi a^2$$

$$Q_1 = 4\pi a^2 \sigma$$

Assim, pela Lei de Gauss:  $\oint \vec{E} \cdot d\vec{S} = \frac{1}{\epsilon_0} q_{\text{int}}$

$$\int E dS \cos\left(\frac{\pi}{2}\right) = \frac{1}{\epsilon_0} Q_1$$

$$E \int dS = \frac{1}{\epsilon_0} Q_1$$

$$E \cdot 4\pi r^2 = \frac{1}{\epsilon_0} \cdot 4\pi a^2 \sigma$$

$$E = \frac{\sigma}{\epsilon_0} \cdot \frac{a^2}{r^2} \Rightarrow \vec{E} = \frac{\sigma}{\epsilon_0} \left(\frac{a}{r}\right)^2 \hat{r}$$

em que  $\hat{r}$  é o vetor na direção radial

c) Novamente, considere uma superfície gaussiana esférica, desta vez de raio  $r$  tal que  $b < r < c$ . Em seu interior, estão contidas a carga da esfera maciça e a da casca esférica de raios internos e externos são  $b$  e  $c$ , nessa ordem. A carga  $Q_1$  da esfera foi calculada no item anterior ( $Q_1 = 4\pi a^2 \sigma$ ). A carga  $Q_2$  da casca é dada por:

$$Q_2 = \int \rho dV = \int_b^c \frac{B}{r} 4\pi r^2 dr =$$

$$4\pi B \int_b^c r dr = 2\pi B (c^2 - b^2)$$

Pela Lei de Gauss, temos:

$$\oint \vec{E} \cdot d\vec{S} = \frac{1}{\epsilon_0} q_{\text{int}}$$

$$\int E \cdot dS \cos\left(\frac{\pi}{2}\right) = \frac{1}{\epsilon_0} (Q_1 + Q_2)$$

$$E \int dS = \frac{1}{\epsilon_0} (Q_1 + Q_2)$$

$$E \cdot 4\pi r^2 = \frac{1}{\epsilon_0} [4\pi a^2 \sigma + 2\pi B (c^2 - b^2)]$$

$$\vec{E} = \frac{1}{\epsilon_0 r^2} \left[ \sigma a^2 + \frac{B}{2} (c^2 - b^2) \right] \hat{r}$$

d) Considere uma superfície gaussiana esférica de raio  $r > c$ . As cargas em seu interior são a da esfera maciça ( $Q_1$ ) e da casca esférica de raios interno e externo  $b$  e  $c$ , respectivamente ( $Q_2$ ).

Para obter  $Q_3$ , basta fazer  $r = c$  na expressão de  $Q_2$ .

$$Q_3 = 2\pi B (c^2 - b^2)$$

Pela Lei de Gauss, temos:  $\oint \vec{E} \cdot d\vec{S} = \frac{1}{\epsilon_0} q_{\text{int}}$

$$\int E \cdot dS \cos\left(\frac{\pi}{2}\right) = \frac{1}{\epsilon_0} (Q_1 + Q_3)$$

$$E \int dS = \frac{1}{\epsilon_0} (Q_1 + Q_3)$$

$$E \cdot 4\pi r^2 = \frac{1}{\epsilon_0} [4\pi a^2 \sigma + 2\pi B (c^2 - b^2)]$$

$$E = \frac{1}{\epsilon_0 r^2} \left[ \sigma a^2 + \frac{B}{2} (c^2 - b^2) \right]$$

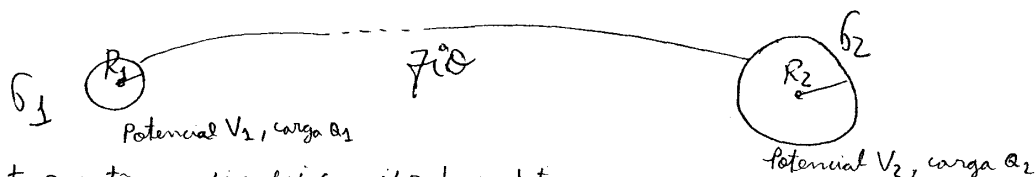
$$\vec{E} = \frac{1}{\epsilon_0 r^2} \left[ \sigma a^2 + \frac{B}{2} (c^2 - b^2) \right] \hat{r}$$

e) Para que  $\vec{E} = \vec{0}$  para  $r > c$ , devemos ter:

$$\frac{1}{\epsilon_0 r^2} \left[ \sigma a^2 + \frac{B}{2} (c^2 - b^2) \right] = 0$$

$$\sigma = \frac{B (b^2 - c^2)}{2a^2}$$

3. Considere duas esferas condutoras ligadas por um fio fino e comprido de raios  $R_1$  e  $R_2$  ( $R_2 \gg R_1$ ), como mostra a figura, com densidades superficiais de carga  $\sigma_1$  e  $\sigma_2$ . Supor que as esferas estão muito distantes uma da outra. Estabeleça uma relação entre os raios e as densidades superficiais de carga. Discuta o resultado obtido.



Na solução desta questão, o fio foi considerado condutor.

Como o fio é fino e comprido, pode-se considerar que não haja qualquer indução entre as cargas contidas nas esferas, e que não há cargas acumuladas no fio condutor.

Logo, pode-se afirmar que o potencial na superfície das duas esferas é o mesmo:

$$V_1 = V_2$$

$$\frac{1}{4\pi\epsilon_0} \cdot \frac{Q_1}{R_1} = \frac{1}{4\pi\epsilon_0} \cdot \frac{Q_2}{R_2}$$

$$\frac{Q_1}{Q_2} = \frac{R_1}{R_2} \quad (I)$$

Entretanto,  $Q_1 = \sigma_1 \cdot 4\pi R_1^2$  e  $Q_2 = \sigma_2 \cdot 4\pi R_2^2$ :

$$\frac{\sigma_1 \cdot 4\pi R_1^2}{\sigma_2 \cdot 4\pi R_2^2} = \frac{R_1}{R_2}$$

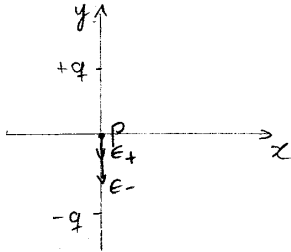
$\boxed{\frac{\sigma_1}{\sigma_2} = \frac{R_2}{R_1}}$  é uma relação entre raios e densidades superficiais das esferas.

Como  $R_2 \gg R_1$ , verifica-se na expressão acima que a densidade superficial de cargas na esfera de raio  $R_1$  é muito maior que a de raio  $R_2$ . Porém, na equação (I), constata-se que a carga armazenada pela esfera de raio  $R_1$  é muito menor que a de raio  $R_2$ .

Além disso, como o campo elétrico em pontos externos a esferas é proporcional à densidade superficial de cargas, o campo em torno da esfera de raio  $R_1$  é mais intenso que em torno da esfera de raio  $R_2$ .

Continuação da 4ª questão)

Para  $r=0$ , temos.



$$\vec{E} = \vec{E}_+ + \vec{E}_-$$

$$\vec{E} = -2 \cdot \frac{1}{4\pi\epsilon_0} \cdot \frac{q}{a^2} \cdot \hat{y}$$

$$\vec{E} = 2 \cdot \frac{1}{4\pi\epsilon_0} \cdot \frac{q}{a^2} \cdot \hat{y} \Rightarrow \boxed{\vec{E} = \frac{p}{4\pi\epsilon_0 a^3} \hat{y}}$$

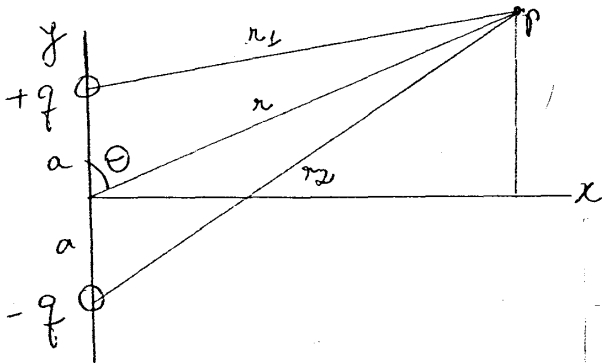
Os campos elétricos dos dipolos são inversamente proporcionais ao cubo da distância entre o ponto e o dipolo, diferentemente do caso entre um ponto e uma carga puntiforme.

---

4. Um dipolo elétrico está localizado ao longo do eixo y e como mostra a figura. A magnitude de seu momento de dipolo elétrico é definida como  $p=2aq$ .

a) Num ponto P, longe do dipolo ( $r \gg a$ ), calcule o potencial elétrico, em função de  $p$ ,  $\theta$ ,  $r$  e  $\epsilon_0$ .

b) Calcule o vetor campo elétrico. <sup>nas condições do item a</sup> Faça  $\theta=0^\circ$ ,  $\theta=90^\circ$  e  $r=0$  e discuta os resultados obtidos.

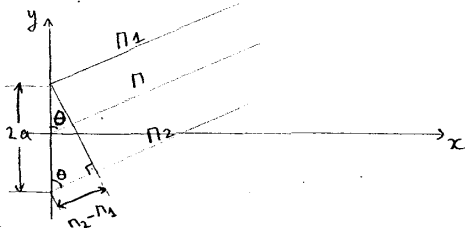


2) Pelo princípio da superposição, o potencial em P é a soma algébrica dos potenciais gerados por +q e -q:

$$V = V_+ + V_- = \frac{1}{4\pi\epsilon_0} \cdot \frac{q}{r_1} + \frac{1}{4\pi\epsilon_0} \cdot \frac{(-q)}{r_2}$$

$$V = \frac{q}{4\pi\epsilon_0} \left( \frac{1}{r_1} - \frac{1}{r_2} \right) = \frac{q}{4\pi\epsilon_0} \left( \frac{r_2 - r_1}{r_1 r_2} \right) \quad (I)$$

Mas como P está muito longe do dipolo, pode-se considerar  $\vec{r}_1 \parallel \vec{r} \parallel \vec{r}_2$ , como na figura abaixo:



Pela figura acima, tem-se  $\cos\theta = \frac{r_2 - r_1}{2a} \Rightarrow$

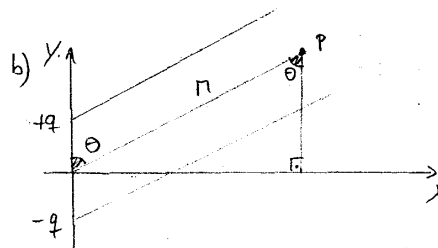
$\Rightarrow r_2 - r_1 = 2a \cos\theta$ . Retornando à equação (I):

$$V = \frac{q}{4\pi\epsilon_0} \cdot \frac{2a \cos\theta}{r_1 r_2}$$

Contudo, como P está distante do dipolo,  $r_1 \approx r \approx r_2$ . Então,

$$V = \frac{2aq \cos\theta}{4\pi\epsilon_0 r^2}$$

$$V = \frac{p \cos\theta}{4\pi\epsilon_0 r^2}$$



Na figura, a ordenada y de P pode ser escrita como  $y = r \cos\theta$ . Então, o potencial em P pode ser escrito como  $V = \frac{p y}{4\pi\epsilon_0 r^3}$  <sup>usar</sup>  $(r, \theta)$

O vetor campo elétrico é dado por:

$$\vec{E} = -\vec{\nabla} V$$

$$\vec{E} = -\left( \frac{\partial V}{\partial x} \hat{x} + \frac{\partial V}{\partial y} \hat{y} + \frac{\partial V}{\partial z} \hat{z} \right)$$

$$\vec{E} = -\frac{dV}{dy} \cdot \hat{y} \Rightarrow \vec{E} = -\frac{p}{4\pi\epsilon_0 r^3} \hat{y}$$

Com  $r \gg a$  e  $\theta = 0^\circ$ , temos:

$$\vec{E}_P = \vec{E}_+ + \vec{E}_-$$

$$\vec{E}_P = \frac{q}{4\pi\epsilon_0} \left[ \frac{1}{(r-a)^2} - \frac{1}{(r+a)^2} \right] \hat{y}$$

$$\vec{E}_P = \frac{4an \cdot q}{4\pi\epsilon_0 (r-a)^2 (r+a)^2} \hat{y}$$

$$\text{Como } r \gg a, r-a \approx r \approx r+a: \vec{E}_P = \frac{2p}{4\pi\epsilon_0 r^3} \hat{y}$$

Com  $r \gg a$  e  $\theta = 90^\circ$ , temos:

Na direção x,  $E_x = 0$ .

$$\vec{E}_y = -2 \cdot \frac{1}{4\pi\epsilon_0} \cdot \frac{q}{r^2 + a^2} \cos\theta$$

$$\vec{E}_y = -2 \cdot \frac{1}{4\pi\epsilon_0} \cdot \frac{q}{r^2 + a^2} \cdot \frac{a}{\sqrt{r^2 + a^2}}$$

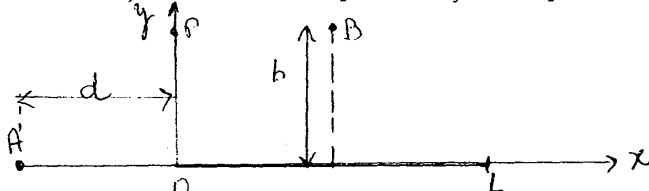
$$\text{Como } r \gg a, r^2 + a^2 \approx r^2$$

$$\vec{E}_y = \frac{p}{4\pi\epsilon_0 r^3} (-\hat{y})$$

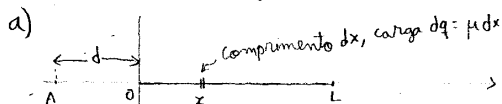


- a) integração fazendo  $\frac{x}{x+d} = 1 - \frac{d}{x+d}$   
 b) substituição trigonométrica,  $\frac{L}{2} - x = b \tan \theta$   
 c) integração por substituição de variáveis;  
 $x^2 + y^2 = u \Rightarrow x dx = \frac{du}{2}$

5. Um bastão com comprimento  $L$ , está sobre o eixo dos  $x$ , e a sua ponta esquerda está na origem. A densidade de carga é dada por  $\mu = \alpha x$  ( $\alpha = \text{constante} > 0$ ).  
 a) Calcular o potencial elétrico no ponto A;  
 b) Calcular o potencial elétrico no ponto B, sobre a mediatriz do bastão;  
 c) Calcular o potencial elétrico no ponto P.  
 d) Determine a componente  $E_y$  do campo elétrico, ao longo do eixo  $y$ .



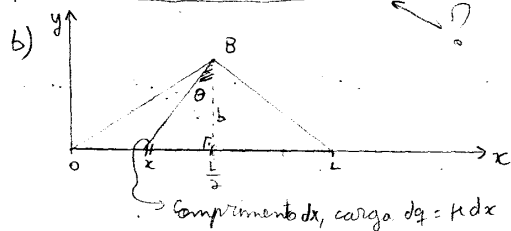
Considerou-se  $V_{\infty} = 0$  nesta questão.



$$dV_A = \frac{1}{4\pi\epsilon_0} \cdot \frac{dq}{x+d} = \frac{1}{4\pi\epsilon_0} \cdot \frac{\mu dx}{x+d} = \frac{\alpha}{4\pi\epsilon_0} \cdot \frac{x dx}{x+d}$$

$$V_A = \int_0^L \frac{\alpha}{4\pi\epsilon_0} \cdot \frac{x dx}{x+d} = \frac{\alpha}{4\pi\epsilon_0} \left[ L - d \ln \left( \frac{L+d}{L} \right) \right]$$

$$V_A = \frac{\alpha}{4\pi\epsilon_0} \left[ L - d \ln \left( \frac{L+d}{L} \right) \right]$$



$$dV_B = \frac{1}{4\pi\epsilon_0} \cdot \frac{dq}{\sqrt{\left(\frac{L}{2} - x\right)^2 + b^2}} = \frac{\mu}{4\pi\epsilon_0} \cdot \frac{dx}{\sqrt{\left(\frac{L}{2} - x\right)^2 + b^2}}$$

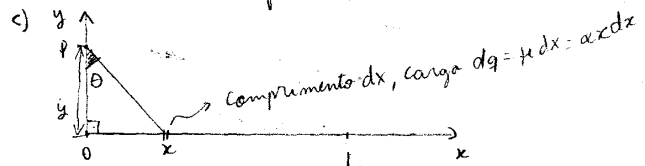
$$= \frac{\alpha}{4\pi\epsilon_0} \cdot \frac{x dx}{\sqrt{\left(\frac{L}{2} - x\right)^2 + b^2}}$$

$$V_B = \int_0^L \frac{\alpha}{4\pi\epsilon_0} \cdot \frac{x dx}{\sqrt{\left(\frac{L}{2} - x\right)^2 + b^2}}$$

$$V_B = \frac{\alpha}{4\pi\epsilon_0} \left( -\frac{L}{2} \ln \left| \frac{\sqrt{\left(\frac{L}{2}\right)^2 + b^2} - \frac{L}{2}}{b} \right| - \frac{L}{2b} \right)$$

$$V_B = -\frac{\alpha L}{4\pi\epsilon_0} \ln \left( \frac{2\sqrt{\left(\frac{L}{2}\right)^2 + b^2} - L}{2b} \right)$$

Considerou-se que a ordenada de P era  $y$ :



$$dV_P = \frac{1}{4\pi\epsilon_0} \cdot \frac{dq}{\sqrt{x^2 + y^2}} = \frac{\alpha}{4\pi\epsilon_0} \cdot \frac{x dx}{\sqrt{x^2 + y^2}}$$

$$V_P = \int_0^L \frac{\alpha}{4\pi\epsilon_0} \cdot \frac{x dx}{\sqrt{x^2 + y^2}} = \frac{\alpha}{4\pi\epsilon_0} (\sqrt{L^2 + y^2} - y)$$

$$V_P = \frac{\alpha}{4\pi\epsilon_0} (\sqrt{L^2 + y^2} - y)$$

d)

$$\vec{E}_y = -\frac{\partial V_P}{\partial y} \hat{y} = -\frac{dV_P}{dy} \hat{y}$$

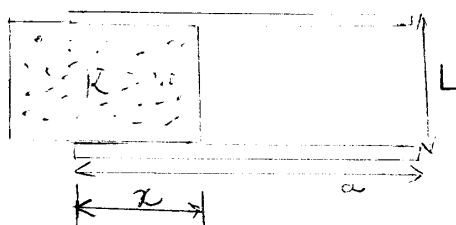
$$\vec{E}_y = -\frac{\alpha}{4\pi\epsilon_0} \left( \frac{y}{\sqrt{L^2 + y^2}} - 1 \right) \hat{y}$$

$$\vec{E}_y = \frac{\alpha}{4\pi\epsilon_0} \left( 1 - \frac{y}{\sqrt{L^2 + y^2}} \right) \hat{y}$$

PROVA DE FIS-32 – Turma 1 – 18.04.2008

NOME: Fernanda Lopes Vieira Ferreira

1. Considere um capacitor de lados  $a$  e  $b$ , e distância entre as placas igual a  $L$ , preenchido com um dielétrico de constante dielétrica  $K$ , submetido a uma diferença de potencial  $V_0$ . Quando completamente carregado, o capacitor é desconectado do circuito o qual pertence, e é mantido isolado, enquanto o dielétrico é puxado para fora do capacitor. Uma parte do dielétrico, de comprimento  $x$ , fica dentro do capacitor. Calcule a força exercida pelo capacitor, atuando na direção  $x$ , para recolocar o dielétrico na posição original.



Inicialmente o capacitor estava preenchido

$$C_0 = \frac{K \epsilon_0 a b}{L} \quad (\text{placas paralelas})$$

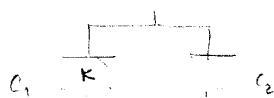
nesta forma a carga do capacitor é de:

$$Q = C \cdot V \rightarrow Q = C_0 V_0 = \frac{K \epsilon_0 a b}{L} V_0$$

Circuito mantido isolado, então  $Q_i = Q_f = Q$

então a força exercida para tirar o capacitor

nesta forma a nova capacitância pode ser calculada com a seguinte equação



$$C_1 = \frac{K \epsilon_0 x b}{L}; \quad C_2 = \frac{\epsilon_0 (a-x)b}{L}$$

$$C_{eq} = C_1 + C_2 = \frac{\epsilon_0 b}{L} (Kx + (a-x))$$

Para calcularmos a força exercida pelo capacitor a fim de recolocar o dielétrico devemos observar a energia armazenada:

$$dU = F dx \quad (1)$$

$$\text{mas } dU = -dW = dV \cdot q \quad (2)$$

nesta caso a energia final de uma o capacitor com o dielétrico todo dentro:

$$V_f = \frac{Q}{C_0} = \frac{V_0}{K}$$

A energia inicial de um o dielétrico na posição  $x$ :

$$\text{mas } Q = C_i V_i \rightarrow Q = C_{eq} V_i$$

$$V_i = \frac{K \epsilon_0 a b V_0}{L} \cdot \frac{L}{\epsilon_0 b (Kx + (a-x))}$$

$$V_i = \frac{K a V_0}{Kx + (a-x)}$$

Substituindo em (1):

$$(K a V_0) dx = -dW \rightarrow V_0 = \frac{K a}{L} \cdot \frac{\epsilon_0 a b V_0}{Kx + (a-x)} = \frac{K a \epsilon_0 a b V_0}{L (Kx + (a-x))}$$

→ Energia do capacitor

$$dU = F dx = -dW = -q dV = \frac{\partial W}{\partial x}$$

$$\text{mas } W = \frac{K \epsilon_0 a b V_0^2}{L} \left( \frac{1}{2} - \frac{K a}{x + a(K-1)} \right)$$

$$F = \frac{\partial W}{\partial x} = \frac{K \epsilon_0 a b V_0^2}{L} \left( 0 + \frac{K a (K-1)}{(x + a(K-1))^2} \right)$$

$$F = \frac{K^2 \epsilon_0 a^2 b V_0^2}{L (x + a(K-1))^2} \quad (1)$$

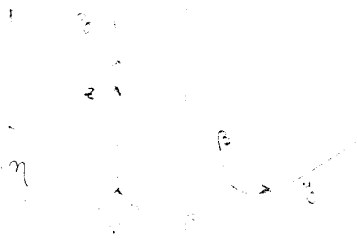
$$\int \frac{d\theta}{\sin \theta} = \ln \left[ \tan \frac{\theta}{2} \right] + C$$

2. Considere o potencial  $V = V(\varphi)$ , em coordenadas cilíndricas, e  $V = V(\theta)$ , em coordenadas esféricas. Considere as condições de contorno:  $V=0$  em  $\varphi=0$  e  $V=V_0$  em  $\varphi=\alpha$ , no caso cilíndrico e  $V=0$  em  $\theta=\pi/2$  e  $V=V_0$  em  $\theta=\alpha$ , com  $\alpha < \pi/2$ , no caso esférico.

- Faça um esboço mostrando as superfícies equipotenciais para os dois casos.
- Usando a equação de Laplace, determine a função potencial e o vetor campo elétrico, para os dois casos.

a) 1º caso: coordenadas cilíndricas

Usando as condições de contorno:



$$\rightarrow \frac{\partial V}{\partial \varphi} = 0 \Rightarrow V(\varphi) = A\varphi + B$$

Verificando as condições de contorno:  $V(0)=0$  ;  $V(\alpha)=V_0$

$$0 = A \cdot 0 + B \Rightarrow B = 0$$

$$V_0 = A \cdot \alpha + B \Rightarrow A = \frac{V_0}{\alpha}$$

$$\rightarrow V(\varphi) = \frac{V_0}{\alpha} \varphi$$

Vetor campo elétrico tangente a  $\varphi = \text{const}$  e  $r = \text{const}$

$$\vec{E} = - \frac{\partial V}{\partial \varphi} = - \frac{V_0}{\alpha} \hat{\varphi}$$

As superfícies equipotenciais no caso das coordenadas cilíndricas são as superfícies  $\varphi = \text{const}$ , onde  $\varphi$  e  $\theta$  são ângulos entre o eixo  $x$  e o eixo  $r$  e  $\theta$  respectivamente.

2º caso: coordenadas esféricas



As superfícies equipotenciais no caso das coordenadas esféricas são as superfícies  $\theta = \text{const}$ , onde  $\varphi$  e  $\theta$  são ângulos entre o eixo  $x$  e o eixo  $r$  e  $\theta$  respectivamente.

b) Usando a equação de Laplace para coordenadas cilíndricas

$$\frac{1}{r} \frac{\partial}{\partial r} \left( r \frac{\partial V}{\partial r} \right) + \frac{1}{r^2} \frac{\partial^2 V}{\partial \varphi^2} = 0$$

$$\frac{1}{r^2} \frac{\partial^2 V}{\partial \varphi^2} = 0 \Rightarrow \frac{\partial^2 V}{\partial \varphi^2} = 0$$

Equação de Laplace para coordenadas esféricas:

$$\nabla^2 V = \frac{1}{r^2 \sin \theta} \left[ \sin \theta \frac{\partial}{\partial r} \left( r^2 \frac{\partial V}{\partial r} \right) + \frac{\partial}{\partial \theta} \left( \sin \theta \frac{\partial V}{\partial \theta} \right) + \frac{1}{\sin \theta} \frac{\partial^2 V}{\partial \varphi^2} \right] = 0$$

$$\frac{1}{r^2 \sin \theta} \frac{\partial}{\partial \theta} \left( \sin \theta \frac{\partial V}{\partial \theta} \right) = 0$$

$$\frac{\partial}{\partial \theta} \left( \sin \theta \frac{\partial V}{\partial \theta} \right) = 0 \Rightarrow \sin \theta \frac{\partial V}{\partial \theta} = A$$

$$\frac{\partial V}{\partial \theta} = \frac{A}{\sin \theta} \Rightarrow V(\theta) = - \frac{A}{\cos \theta} + B$$

$$V(\theta) = - \frac{A}{\cos \theta} + B$$

Verificando as condições de contorno:

$$V(\pi/2) = 0 \Rightarrow V(\alpha) = V_0$$

$$0 = - \frac{A}{\cos(\pi/2)} + B \Rightarrow B = 0$$

$$V_0 = - \frac{A}{\cos \alpha} \Rightarrow A = - \frac{V_0}{\cos \alpha}$$

$$\rightarrow V(\theta) = \frac{V_0}{\cos \alpha} \frac{1}{\cos \theta}$$

Vetor campo elétrico tangente a  $\theta = \text{const}$  e  $r = \text{const}$

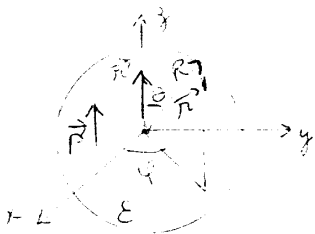
$$\vec{E} = - \frac{\partial V}{\partial \theta} = - \frac{V_0}{\cos \alpha} \frac{1}{\sin \theta} \hat{\theta}$$

$$\vec{E} = - \frac{V_0}{\cos \alpha} \frac{1}{\sin \theta} \hat{\theta}$$

3. Uma esfera dielétrica descarregada de raio  $R$  e permissividade  $\epsilon$  tem uma polarização  $\vec{P}$  uniforme, tal que  $\vec{P} = P\hat{k}$ , conforme mostra a figura.

- Calcule a densidade superficial de carga de polarização sobre a superfície da esfera.
- Calcule a densidade volumétrica de carga de polarização da esfera.
- Escreva uma expressão para o potencial elétrico dentro da esfera ao longo do eixo  $z$ ,

expressando  $r$  e  $r'$  em coordenadas esféricas.



Temos uma polarização  $\vec{P}$  uniforme, tal que  $\vec{P} = P\hat{k}$ , ou seja  $|\vec{P}| = \frac{Q'}{A}$

onde  $Q'$  é a quantidade de carga polarizada  
 $A$  é a área da esfera

A quantidade de carga polarizada  $Q' = 4\pi R^2 P$

Como  $P = \frac{Q'}{A} \Rightarrow Q' = P \cdot 4\pi R^2$  (carga total)

a) Nesta forma podemos calcular a densidade superficial de carga de polarização:

$$\sigma_s = \frac{Q'}{A}$$

$$\sigma_s = \frac{P \cdot 4\pi R^2}{4\pi R^2} = P$$

$$\sigma_s = P \cos \theta$$

b) densidade volumétrica de carga de polarização:

$$\rho_v = \frac{Q'}{V} = \frac{P \cdot 4\pi R^2}{\frac{4}{3}\pi R^3}$$

$$\rho_v = \frac{3P}{R}$$

c) Cálculo do potencial elétrico

Substituímos na equação de Poisson

$$\nabla^2 V = -\frac{\rho}{\epsilon_0} \quad \text{onde } \rho \text{ é a densidade volumétrica de carga} \rightarrow \rho = 3P$$

Logo  $\nabla^2 V = -\frac{3P}{\epsilon_0}$  num corpo esférico

$$\nabla^2 V = -\frac{3P}{\epsilon_0} \Rightarrow \nabla^2 V = -\frac{3P}{\epsilon_0} \quad (\text{aplicar})$$

Para coordenadas esféricas, considerando  $r$

$$\nabla^2 V = \frac{1}{r^2 \sin \theta} \left[ \sin \theta \frac{\partial}{\partial r} \left( r^2 \frac{\partial V}{\partial r} \right) + \frac{\partial}{\partial \theta} \left( \sin \theta \frac{\partial V}{\partial \theta} \right) \right]$$

$$\left[ \frac{1}{r^2 \sin \theta} \frac{\partial^2 V}{\partial \theta^2} \right] = \left( -\frac{1}{r^2} \right)$$

$$\text{mas } r = r' \cos \theta$$

Então a função do eixo  $z$  depende de  $\theta$  e  $r$

$$\frac{1}{r^2 \sin \theta} \left[ \sin \theta \frac{\partial}{\partial r} \left( r^2 \frac{\partial V}{\partial r} \right) + \frac{\partial}{\partial \theta} \left( \sin \theta \frac{\partial V}{\partial \theta} \right) \right] = -\frac{3P}{R \epsilon}$$

Temos que  $r$  depende de  $r'$  e de  $\theta$

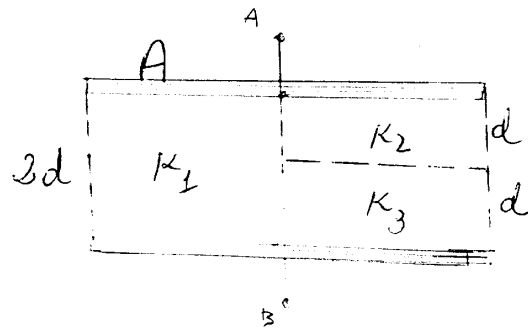
Logo a polarização  $\vec{P}$  pode ser calculado a partir da expressão abaixo:

$$\left[ \sin \theta \frac{\partial}{\partial r} \left( r^2 \frac{\partial V}{\partial r} \right) + \frac{\partial}{\partial \theta} \left( \sin \theta \frac{\partial V}{\partial \theta} \right) \right] = -\frac{3P r^2 \sin \theta}{R \epsilon}$$

$V(r, \theta)$  é a solução desta equação,

em que  $\theta$  pode ser dado como  $\arccos \frac{z}{r'}$

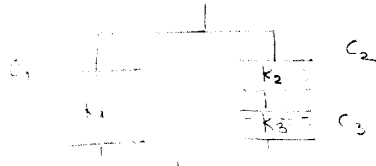
na expressão acima.



A: área das placas

4. Calcule a capacitância do capacitor mostrado na figura:

O capacitor acima pode ser interpretado como sendo equivalente ao seguinte sistema elétrico:



$$C_T = \frac{\epsilon_0 A}{2d} \left( \frac{K_2 K_3}{K_2 + K_3} + \frac{K_1}{2} \right)$$

$$C_T = \frac{\epsilon_0 A}{2d} \left( \frac{K_2 K_3}{K_2 + K_3} + \frac{K_1}{2} \right)$$

Nota-se, portanto,  $C_1$  com Área =  $A/2$

e altura  $2d$ ,  $C_2$  e  $C_3$  com Área  $A/2$

e altura  $d$ . Considerando que  $A_2 = A/2$

tem-se o seguinte circuito:

Desse forma quando temos um capacitor de placas planas, paralelas preenchido com dielétrico, a fórmula de  $C$  é dada por:

$$C = \frac{K \epsilon_0 A}{d}$$

$$C_1 = \frac{K_1 \epsilon_0 A/2}{2d} ; C_2 = \frac{K_2 \epsilon_0 A/2}{d} ; C_3 = \frac{K_3 \epsilon_0 A/2}{d}$$

Capacitância equivalente de  $C_2$  e  $C_3$ :

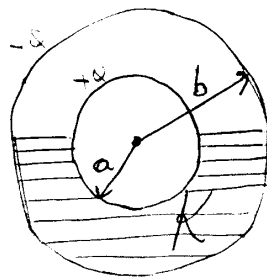
$$\frac{1}{C_2} = \frac{1}{C_2} + \frac{1}{C_3}$$

$$\frac{1}{C_2} = \frac{2d}{K_2 \epsilon_0 A/2} = \frac{4d}{K_2 \epsilon_0 A} = \frac{1}{\frac{K_2 \epsilon_0 A}{4d}}$$

$$C_2 = \frac{K_2 \epsilon_0 A}{4d}$$

Capacitância equivalente =  $C_T$

$$C_T = C_1 + C_2 = \frac{K_2 K_3 \epsilon_0 A}{2d(K_2 + K_3)} + \frac{K_1 \epsilon_0 A}{4d}$$



5. Um capacitor esférico isolado possui carga  $+Q$  sobre o condutor interno e carga  $-Q$  sobre o condutor externo. A seguir, metade do volume entre os dois condutores é preenchida por um dielétrico com uma constante  $K$ , conforme indicado na seção reta da figura.

- Determine a capacitância do capacitor preenchido até a metade.
- Determine a densidade superficial de cargas livres sobre o condutor interno e sobre o condutor externo.
- Estabeleça uma relação entre as cargas livres e as cargas de polarização.

a) O capacitor representado acima é equivalente a dois capacitores em paralelo. Cálculo da densidade superficial de carga,  $\sigma$ , no condutor interno e externo.



Como se cada um dos capacitores fosse formado pelas placas paralelas fosse um capacitor hemisférico.

Logo, a capacitância é dada por:

$$C = \frac{4\pi\epsilon_0}{2} \frac{ab}{b-a} + \frac{4\pi K\epsilon_0}{2} \frac{ab}{b-a}$$

$$C = \left(\frac{1+K}{2}\right) 4\pi\epsilon_0 \frac{ab}{b-a}$$



Mas como temos um capacitor esférico isolado, a carga total se mantém:

$$Q = C \cdot V \Rightarrow Q_{l,a} = \left(\frac{1+K}{2}\right) Q$$

$$Q_{l,b} = -\left(\frac{1+K}{2}\right) Q$$

$$\sigma_{l,a} = \frac{Q_{l,a}}{A_a} = \left(\frac{1+K}{2}\right) \frac{Q}{4\pi a^2}$$

$$\sigma_{l,b} = \left(\frac{1+K}{2}\right) \frac{Q}{4\pi b^2} \quad \sigma_p = \frac{K-1}{K+1} \frac{Q}{4\pi a^2}$$

$$\sigma_{l,b} = \frac{Q_{l,b}}{A_b} = -\left(\frac{1+K}{2}\right) \frac{Q}{4\pi b^2}$$

$$\sigma_{p,b} = -\left(\frac{1-K}{2}\right) \frac{Q}{4\pi b^2} \quad \text{é constante?}$$

c) Temos arranjos de linha de Gauss que passam de um de um capacitor com dielétrico.

$$E \cdot A = \frac{Q}{\epsilon_0} \rightarrow E = \frac{Q}{4\pi\epsilon_0 a^2}$$

Com a adição do dielétrico, este passa a ser dividido pela constante dielétrica  $K$  e a carga  $Q'$ .

Portanto o campo resultante é este que:

$$\text{Pelo lei de Gauss o campo resultante } E = \frac{Q-Q'}{4\pi\epsilon_0 a^2}$$

Mas sabemos que quando o campo é homogêneo em um dielétrico, tem  $E = \frac{E_0}{K}$ .

Logo, a carga  $Q'$  é dada por:

$$\frac{Q-Q'}{K} = \frac{E_0}{K} = \frac{Q}{K} \Rightarrow Q-Q' = \frac{Q}{K}$$

$$\rightarrow Q' = Q \left(1 - \frac{1}{K}\right)$$